

Οι απώλειες φορτίου και οι παροχές σχεδιασμού σε άκτινωτά υπό πίεση άρδευτικά δίκτυα με ελεύθερη ζήτηση

Τοῦ Λάζαρου Σ. Λαζαρίδη*

Περίληψη

Ἡ λειτουργία τῶν άκτινωτῶν υπό πίεση δικτύων άρδεύσεως με ελεύθερη ζήτηση έχει πιθανοθεωρητικό χαρακτήρα. Οἱ αντίστοιχες απώλειες φορτίου έχουν και αυτές πιθανοθεωρητικό χαρακτήρα, ὥστε γνωρίζοντας τήν κατανομή τους κατά μήκος μιάς ὁποιασδήποτε διαδρομής τοῦ νεροῦ πού ὀνομάζεται «γραμμική μεταφοράς», νά μπορούμε νά καθορίσουμε σε κάθε στάθμη πιθανότητας τό μέγεθος τῆς αντίστοιχης απώλειας.

Με κατάλληλη μαθηματική ἐπεξεργασία και με τήν ἀποδοχή ὀρισμένων λογικῶν προσεγγίσεων και παραδοχῶν πού ἀνταποκρίνονται στη μορφή τῆς γενικῆς διατάξεως τέτοιων δικτύων καταλήξαμε σε πολύ χρήσιμα συμπεράσματα γιά τό σχεδιασμό. Ἔτσι γιά νά προσδιορίσουμε τήν κατανομή απώλειας φορτίου κατά μήκος μιάς γραμμῆς μεταφοράς θά ἔχουμε

$$h = m + u \cdot s$$

όπου m = Ἡ μέση τιμή τῆς απώλειας φορτίου
 s = Ἡ τυπική ἀπόκλιση τῆς απώλειας φορτίου
 $u = \frac{h-m}{s}$ = τυποποιημένη τιμή απώλειας φορτίου.

Σύμφωνα με τήν ἔρευνα πού κάναμε βρίσκουμε ὅτι οἱ παραμετροί m, s τῆς κατανομῆς τῆς απώλειας φορτίου ἠ ἐκφράζονται πολύ ἀπλά με σχέσεις πού εὐκόλα ὑπολογίζονται. Ἐπίσης ἡ u συμπίπτει με τήν ε πού εἶναι ἡ τυποποιημένη τιμή κανονικῆς κατανομῆς.

Με αὐτό τόν τρόπο οἱ απώλειες φορτίου θά εἶναι κατά μήκος μιάς γραμμῆς μεταφοράς :

$$h = \Sigma K_i Q_i^4$$

όπου K_i = Συντελεστής πού ἐξαρτιέται ἀπό τή διάμετρο, τό μήκος και τό συντελεστή τραχύτητας στό τμήμα i τῆς γραμμῆς μεταφοράς.

Q_i = Μέγεθος με διάστάσεις παροχῆς πού ὑπολογίζεται πολύ εὐκόλα.

Τό παραπάνω μέγεθος Q_i τό ὀνομάζουμε «ιδεατή παροχή» και μπορούμε με τίς τιμές αυτές τῶν ιδεατῶν παροχῶν νά σχεδιάσουμε τό δίκτυο. Πραγματικά με τίς ιδεατές παροχές μετατρέπουμε ἕνα πιθανοθεωρητικό πρόβλημα σε ἀντεπερνητικό γιατί τοποθετώντας στό διάφορα τμήματα τῆς γραμμῆς μεταφοράς τίς τιμές Q_i , οἱ ὁποῖες ἀνταποκρίνονται στην ἐπιθυμητή στάθμη πιθανότητας, παίρνουμε ἐκείνη τήν ἀπώλεια φορτίου ἡ ὁποία ἀντιστοιχεί στην ἐπιθυμητή στάθμη πιθανότητας ἡ ποιότητας λειτουργίας τοῦ δικτύου ὡς ὀνομάζεται συνήθως.

Μέσα στην ἐργασία ἐξετάζεται ἐπίσης και τό θέμα τοῦ ἀγωγοῦ τελευταίας τάξεως, και δίδονται σε πίνακα ὁδηγίες γιά τόν προσδιορισμό τῶν ιδεατῶν παροχῶν ὅταν τῆ ἐξυπηρετούμενα στόμια ὕδρωληφίας εἶναι λιγότερα ἀπό 12.

Τά πύ πάνω συμπεράσματα ἐπαληθεύτηκαν και με τή μέθοδο τῆς ἐξομοίωσης σε συγκεκριμένα παραδείγματα.

1. Εἰσαγωγή

1.1. Γενικά - Προϋπάρχουσες ἐργασίες

Ὁ μηχανικός πού μελετᾷ άκτινωτά σωληνωτά υπό πίεση δίκτυα άρδεύσεως, τά ὁποῖα λειτουργοῦν με ελεύθερη ζήτηση, εἶναι ὑποχρεωμένος πάντοτε νά καθορίσει τίς απώλειες φορτίου στις διάφορες διαδρομές τῆς ροῆς τοῦ νεροῦ. Αὐτές οἱ

απώλειες φορτίου συνήθίζεται νά συσχετίζονται με κάποιες ἀντίστοιχες παροχές σχεδιασμοῦ ὥστε πάντοτε νά εἶναι συνάρτηση τῶν παροχῶν αὐτῶν. Οἱ παροχές σχεδιασμοῦ και οἱ απώλειες φορτίου εἶναι βασικά χαρακτηριστικά στοιχεία πού ἀπαιτοῦνται γιά ὁποιαδήποτε ὑπολογιστική διαδικασία — ἡ ἀλγόριθμο— βελτιστοποίησης τοῦ δικτύου. Ἐπομένως τό πρόβλημα αὐτό εἶναι πολύ σοβαρό ἀφοῦ ἡ ὑπερεκτίμησή τους μειώνει τήν ἀξία ὁποιασδήποτε, ἔστω και ἀκριβοῦς μεθόδου βελτιστοποίησης, ὁπότε ὁ ὑπερσχεδιασμός τοῦ δικτύου εἶναι τότε ἀναπόφευκτος. Ἐπιπλέον στην παρούσα ἐργασία ὅτι έχει καθοριστεῖ ἡ χάραξη τοῦ δικτύου σε ὀριζοντιογραφία και μηκοτομή και ἔχουν ἐπίσης καθοριστεῖ οἱ ἐλάχιστες τιμές πιεζομετρικοῦ φορτίου στις διάφορες θέσεις του, ὅπως και οἱ σχετικοί περιορισμοί γιά τίς ἐλάχιστες και μέγιστες ταχύτητες σχεδιασμοῦ. Γιά τή βελτιστοποίηση βέβαια τοῦ δικτύου πρέπει ἐπιπρόσθετα νά ἔχει καθοριστεῖ και τό κόστος τῶν σωληνῶν σε συνάρτηση με τό χρησιμοποιούμενο ὕλικό και τή διάμετρό τους.

Πέρα ἀπό τά πύ πάνω στοιχεία στά δίκτυα τεχνιτῆς βροχῆς θά πρέπει ἐπίσης νά εἶναι γνωστός ὁ βαθμός ελευθερίας τοῦ δικτύου ἀπό τό γεωργό. Ὁ βαθμός αὐτός προσδιορίζεται ἀπό τή μέση παροχή q πού εἶναι ἀπαραίτητη γιά τήν ἐξυπηρέτηση τοῦ κάθε ἀγροτεμαχίου κατά τήν κρίσιμη ἡμέρα τῆς άρδευτικῆς περιόδου και τήν παροχή q_0 τῶν στομιῶν ὕδρωληφίας δηλαδή $B = q_0/q$. Τό θέμα ὁμως τοῦ καθορισμοῦ τῶν μεγεθῶν q, q_0 και B ἀποτελεῖ ἀντικείμενο ἰδιαίτερης μελέτης τῶν γεωργοτεχνικῶν κλπ. συνθηκῶν μιάς ὑπό άρδευση περιοχῆς. Ὅπως εἶναι γνωστό γιά νά ἐξασφαλιστεῖ πλήρως κατά 100% ἡ λειτουργία ἑνός δικτύου, θά πρέπει ὁ σχεδιασμός του νά πραγματοποιηθεῖ θεωρώντας ὅλα τά στόμια ἀνοιχτά, ὁπότε προκύπτει ἕνα πολύ δαπανηρό δίκτυο, ἔνω με τήν παραδοχή ὅτι τό δίκτυο δέ θά εἶναι ἱκανό σ' ἕνα μικρό ποσοστό ζήτησεων [1,2] νά ἀνταποκριθεῖ στην ἐξυπηρέτηση ὅλων τῶν στομιῶν προκύπτει ἕνα λογικό σῆμα δικτύου πού εἶναι οικονομικότερο και ἱκανό νά ἀνταποκριθεῖ στις ἀνάγκες τῶν άγροτῶν.

Με αὐτή τήν παραδοχή ὁμως ἡ λειτουργία τῶν δικτύων τεχνιτῆς βροχῆς έχει πιθανοθεωρητικό χαρακτήρα και ἐπομένως τόσο οἱ παροχές σε κάθε θέση ὅσο και οἱ απώλειες φορτίου στις διάφορες δυνατές διαδρομές τῆς ροῆς ἔχουν ἐπίσης πιθανοθεωρητικό χαρακτήρα. Γι' αὐτό πρῖν προχωρήσουμε στην ἔρευνα γιά τόν καθορισμό τῶν ἀπωλειῶν φορτίου και τῶν παροχῶν σχεδιασμοῦ θά ἀναφέρουμε περιληπτικά, μερικά χρήσιμα σχετικά στοιχεία και προϋπάρχουσες ἐργασίες.

Ἔτσι με κάποια πιθανότητα p_r , πλησίον τῆς μονάδας, ὅπως ἀπό R συνολικά στόμια ὕδρωληφίας πού ἐξυπηρετοῦνται ἀπό μιά θέση τοῦ δικτύου, λειτουργοῦν τό πολύ τά N στόμια ($N < R$) προκύπτει μέγιστη παροχή στή θεωρούμενη θέση ἴση πρὸς $N \cdot q_0$, ἀρκετά μικρότερη ὁμως ἀπό τή $R \cdot q_0$. Ἐπομένως έχει εἰσαχθεῖ ἡ ἔννοια τῆς ποιότητας λειτουργίας q πού συμπίπτει με τήν πύ πάνω πιθανότητα p_r .

Με αὐτό τόν τρόπο μέχρι σήμερα ἔχουν ἀναζητηθεῖ, με ὕδραυλικό κριτήριο τῆς ζητούμενης παροχῆς, οἱ συναρτήσεις κατανομῆς τῆς γιά νά περιγραφεῖ ἡ λειτουργία ἑνός δικτύου.

Στά άρδευτικά δίκτυα ἡ πιθανότητα p λειτουργίας ἑνός στομίου θεωρεῖται σταθερή κατά τή διάρκεια τῆς κρίσιμης άρδευτικῆς ἡμέρας, ὁπότε ἡ ζητούμενη παροχή Q σε μιά θέση τοῦ δικτύου ἀκολουθεῖ διωνυμική κατανομή (bernouilli) ἡ με ἄλλα λόγια ἡ πιθανότητα p νά ζητιέται παροχή $Q \leq N \cdot q_0$ θά εἶναι :

* Διπλωματοῦχος Πολιτικός Μηχανικός Ε.Μ.Π. 1955. Ἐργασίες στό σεισμολογική περιοχή Μαγνησίας, σε στρατιωτικά ἔργα, στην

Μηχανική Καλλιέργεια τοῦ Ἐπιπορευτοῦ Γεωργίας και τήν Τ.Ε.Δ.Κ. Καρδίτσας. Ἀπό τό 1961 εἶναι μελετητής ὕδραυλικῶν ἔργων.

$$\varphi = \sum_{o}^N \binom{R}{N} P^N (1-P)^{R-N} \quad (1)$$

όπου φ = ή πιθανότητα να ζητείται παροχή $Q \leq R \cdot \varphi_0$
 N = μέγιστο πλήθος ανοικτών στομιών υδροληψιών για στάθμη πιθανότητας $\varphi (N \leq R)$
 R = Συνολικό πλήθος στομιών υδροληψίας του δικτύου που εξυπηρετείται από την εξεταζόμενη θέση
 $P = \frac{1}{B}$ = πιθανότητα λειτουργίας κάθε στομιού (σταθερή).

Η προσέγγιση της διωνυμικής κατανομής όπως είναι γνωστό στο πραγματοποιείται ικανοποιητικά με κατανομές πιο εύχρηστες όπως ή κατανομή Poisson. "Ήδη έχουν χρησιμοποιηθεί τέτοιες κατανομές για τη μελέτη και υπολογισμό των παροχών σχεδιασμού τόσο σε δίκτυα υδρεύσεως [9] όσο και σε άρδευτικά δίκτυα.

Ο R. Clement [2] το έτος 1955 χρησιμοποίησε την κανονική κατανομή για να υπολογίσει τις παροχές σε άρδευτικά δίκτυα και δέχτηκε ότι για τις εφαρμοζόμενες τιμές της πιθανότητας P και για πλήθος στομιών μεγαλύτερο από $10 \div 12$ ή παροχή ακολουθεί την κανονική κατανομή και επομένως :

$$Q = \mu + \epsilon \cdot \sigma \quad (2)$$

όπου : μ = μέση τιμή της παροχής = $R \cdot P \cdot \varphi_0$
 σ = τυπική απόκλιση της παροχής = $[R \cdot P \cdot (1-P)]^{1/2} \cdot \varphi_0$
 ϵ = τυποποιημένη τυχαία μεταβλητή της κανονικής κατανομής ($\mu = 0, \sigma = 1$)

Οι τιμές των μ και σ για i στόμια που ανήκουν σε m ομάδες και ή ομάδα i χαρακτηρίζεται από τα μεγέθη R_i, P_i, φ_{oi} , θά είναι :

$$\mu = \sum_{i=1}^m (R_i \cdot P_i \cdot \varphi_{oi}) \quad (3)$$

$$\sigma = \left[\sum_{i=1}^m R_i P_i (1-P_i) \cdot \varphi_{oi}^2 \right]^{1/2} \quad (4)$$

Ο R. Clement το 1966 παρουσίασε το δεύτερο τύπο ζητήσεως [3] σε δεύτερη εργασία του, όπου εξέτασε τη λειτουργία του δικτύου σαν μια στοχαστική ανέλιξη γεννήσεως και θανάτου. Για την παραδοχή αυτή έχουν εκφραστεί διάφορες απόψεις και κυρίως κατά πόσο ή εφαρμογή ενός τέτοιου στοχαστικού μοντέλου ανταποκρίνεται στη φύση και τον τρόπο ικανοποιήσεως των άρδευτικών αναγκών. Τελικά, όπως είναι γνωστό, ο πρώτος τύπος (2) εφαρμόζεται για τον προσδιορισμό της παροχής και φαίνεται ότι δεν αποτελεί λιγότερη βέβαιη παραδοχή για τον τρόπο λειτουργίας του δικτύου. Οι παροχές που προκύπτουν από την πιο πάνω σχέση (2), δίνουν βέβαια μια σωστή πληροφορία σε ότι αφορά τη μέγιστη παροχή που ζητείται σε κάθε θέση του δικτύου, αλλά δεν μπορούν να εφαρμοστούν ταυτόχρονα σε όλο το δίκτυο και να θεωρηθούν παροχές σχεδιασμού. Στο θέμα αυτό έχουν γίνει μέχρι σήμερα όριμένες εμπειρικές παραδοχές και προσπάθειες για την κατανομή της $\max Q$ που ζητείται στην κεφαλή του δικτύου για μια στάθμη πιθανότητας (ή ποιότητας λειτουργίας) φ , χωρίς τελικά το πρόβλημα να έχει λυθεί οριστικά.

Έτσι ο R. Clement πρότεινε την κατανομή της $\max Q$ στις υδραυλικά δυσμενέστερες υδροληψίες του δικτύου. Στην περίπτωση αυτή είναι φανερό ότι προκύπτει πολύ μεγαλύτερη ποιότητα λειτουργίας του δικτύου από εκείνη που επιζητούμε και επομένως υπερσχεδιασμός του έργου.

Μία άλλη μέθοδος συνίσταται στην εφαρμογή της σχέσεως (2) σ' όλα τα τμήματα του δικτύου. Με τη μέθοδο αυτή τα αποκτώμενα οικονομικά αποτελέσματα είναι ευνοϊκότερα και ή ποιότητα λειτουργίας θα είναι πλησίον της επιθυμητής σ' όλο το δίκτυο [5]. Βέβαια ή μέθοδος αυτή προτάθηκε εμπειρικά και δεν έχει θεωρητική βάση, αλλά με την παρούσα εργασία αποδεικνύεται ότι οι παροχές που δίνει ή σχέση (2) για όλα τα τμήματα του δικτύου είναι πάρα πολύ κοντά στις προτεινόμενες «ιδεατές παροχές» σχεδιασμού όπως θα δούμε πιο κάτω.

Τα υπό πείρα, άρδευτικά δίκτυα στη χώρα μας υπολογίζονται με παροχές που καθορίζονται από σχετικές οδηγίες (14) του Υπουργείου Δημοσίων Έργων. Οι παροχές αυτές δεσμεύονται όμως σε όρισμένες θέσεις από τη σχέση (2) και επίσης υποτίθεται [5] ότι ή ποιότητα λειτουργίας του άγωγού που

τροφοδοτεί τους διάφορους κλάδους μειώνεται όσο αυξάνεται ο αριθμός των κλάδων. Έτσι, όσο προχωρούμε προς την κεφαλή θεωρείται ότι ή ποιότητα λειτουργίας μειώνεται και επομένως θά πρέπει για την περίπτωση 20 εφαρμογών της σχέσεως (2), να υπολογίζουμε με $\varphi = 0,99$ ή για περισσότερες και μέχρι 40 εφαρμογές της (2) να υπολογίζουμε με $\varphi = 0,999$, όποτε υποτίθεται ότι εξασφαλίζουμε στην κεφαλή ποιότητα $\varphi = 0,90$. Μάλιστα οι σχετικές οδηγίες καθορίζουν ότι σε άγωγούς τελευταίας τάξεως είναι υποχρεωτική ή υπόθεση της λειτουργίας δώδεκα (12) στομιών τουλάχιστον για πλήθος $R \geq 12$ ενώ για $R \leq 12$ στόμια λαμβάνεται $N=R$. Με τις πιο πάνω μεθόδους είναι φανερό ότι κατά καιρούς έμμεσα καταβλήθηκε προσπάθεια προσεγγίσεως των πραγματικών απωλειών με τον καθορισμό αντίστοιχων παροχών σχεδιασμού, οι οποίες ανταποκρίνονται στην επιθυμητή ποιότητα λειτουργίας. Βέβαια για λόγους ασφαλείας αυτές οι απώλειες φορτίου είναι αυξημένες και καλύπτουν τις περισσότερες φορές με ένα σημαντικό περιθώριο ασφαλείας τις πραγματικές.

Τελικά σε όλες τις μεθόδους προκύπτει ένας υπερσχεδιασμός που πολλές φορές είναι σοβαρός και φυσικά έχει και αντίκτυπο στην οικονομία του έργου. Έτσι τα άρδευτικά δίκτυα εκτιμάται ότι υπολογίζονται με ποιότητα λειτουργίας που είναι μεγαλύτερη από 0,99.

Τελευταία έχει δημοσιευθεί μία εργασία του Δ. Χριστούλα [15] στην οποία σαν χαρακτηριστικό μέγεθος λαμβάνεται όχι ή ζητούμενη παροχή, αλλά οι απώλειες φορτίου μεταξύ της δεξαμενής ή του αντλιοστασίου και των στομιών. Η απόλυτη φορτίου εξετάζεται σαν τυχαία μεταβλητή και μελετιέται ή κατανομή της ώστε να προκύψουν χρήσιμα συμπεράσματα.

Επίσης τίθεται το θέμα του καθορισμού της ποιότητας λειτουργίας σε διαφορετική βάση που πρέπει να θεωρηθεί όμως, ότι είναι ή σωστή. Καθορίζεται έτσι σαν ποιότητα λειτουργίας φ του κάθε εξυπηρετούμενου στομιού εκείνη για την οποία το ύψόμετρο της πιεζομετρικής γραμμής άμέσως ανάντη του στομιού παραμένει για την στάθμη πιθανότητας φ , μεγαλύτερο ή ίσο προς το απαιτούμενο.

Βέβαια στο τέλος καθορίζονται οι σχέσεις οι οποίες συνδέουν την όλική απώλεια φορτίου με τις άγνωστες διαμέτρους που αποτελούν και τις μεταβλητές του συστήματος που προκύπτει για όλες τις γραμμές μεταφοράς (όπου γραμμή μεταφοράς ονομάζεται μία γραμμή που συνδέει ένα σημείο τροποδοσίας του κεντρικού άγωγού με ένα από τα σημεία υδροληψίας).

Οι ισοτικές αυτές σχέσεις θά μπορούσαν με τους άνωτικούς περιορισμούς που επιβάλλονται από τις όριακές ταχύτητες, να επιλύσουν το πρόβλημα ενός βέλτιστου συνδυασμού διαμέτρων, σε συνδυασμό με την διατήρηση της επιθυμητής ποιότητας λειτουργίας, άποφεύγοντας τους υπερσχεδιασμούς που προκύπτουν από τις ακολουθούμενες μέχρι σήμερα μεθόδολογίες.

Οι προκύπτουσες όμως σχέσεις στην πιο πάνω εργασία [15] είναι δύσχρηστες και δεν παρέχουν άμεσες πληροφορίες, για να μπορεί να εφαρμοστεί κάποια γνωστή μέθοδος βελτιστοποίησης. Επίσης για την εξαγωγή τους θεωρήθηκε ότι οι γραμμικές απώλειες σε σωλήνες προκύπτουν από τον τύπο του Manning, πράγμα που δυσχεραίνει τη χρήση και άλλων εμπειρικών ή ημιεμπειρικών σχέσεων που συνήθως εφαρμόζονται για τις γραμμικές απώλειες. Τελικά προτείνεται στην πιο πάνω εργασία, μέχρι να ευρεθεί κάποιος αλγόριθμος για την επίλυση του προβλήματος, ένας τρόπος εμπειρικού καθορισμού της παροχής σε κάθε θέση του δικτύου.

Σύμφωνα μ' αυτό τον τρόπο ή μέση παροχή του κάθε τμήματος πολλαπλασιάζεται με το συντελεστή $\frac{\max Q}{\bar{Q}}$, όπου

$$\max Q = \text{μέγιστη παροχή στην κεφαλή του δικτύου και } \bar{Q} = \mu = \text{μέση παροχή στην κεφαλή.}$$

Στη συνέχεια βέβαια προτείνεται εμπειρικά ή διόρθωση του ύψόμετρου κεφαλής και μερικών διαμέτρων άγωγών τελευταίας τάξεως ώστε να επιτευχτεί μεγαλύτερη προσέγγιση.

1.2. Απόψεις για τη λήψη της απώλειας φορτίου σαν κριτηρίου σχεδιασμού - Σκοπός και αντικείμενο της παρούσας εργασίας

Στην προηγούμενη παράγραφο αναφέρθηκε ποιος είναι ο σω-

στός τρόποσ καθορισμού τής ποιότητας λειτουργίας και ότι ο μόνος σωστός τρόπος να τήν εξασφαλίσουμε είναι να μελετήσουμε τήν κατανομή τής απώλειας φορτίου [15], παίρνοντας τήν απώλεια σάν κριτήριο σχεδιασμού. Πράγματι τó κριτήριο αυτό θεωρείται απόλυτα όρθό για τó σχεδιασμό του έργου, γιατί καθορίζεται έτσι ή ικανοποιητική ή όχι λειτουργία του δικτύου με τó γεγονός άν τά διαθέσιμα φορτία υπερβαίνουν ή δέν υπερβαίνουν κάποια επιθυμητή τιμή στις διάφορες εξεταζόμενες θέσεις τους και φυσικά πάντοτε σε συνάρτηση με μία επιθυμητή στάθμη πιθανότητας φ.

Κατ' αυτό τόν τρόπο θα μπορούσαμε να γνωρίζουμε με ποιά πιθανότητα εμφάνισης πραγματοποιείται μία τιμή απώλειας φορτίου και επομένως για μία επιθυμητή ποιότητα λειτουργίας ποιά θα είναι ή μέγιστη τιμή απώλειας φορτίου σε μία εξεταζόμενη γραμμή μεταφοράς.

"Ετσι προκύπτει ότι ή κατανομή τής ολικής απώλειας φορτίου κατά μήκος μιάς γραμμής μεταφοράς πού εκφράζει αντίστοιχα και τήν κατανομή του πιεζομετρικού φορτίου στην κεφαλή τής γραμμής (θέση τροφοδοτήσεως), δέ συμπίπτει με τήν κατανομή τής παροχής πού ζητείται από τó δίκτυο τó όποιο τροφοδοτείται από τή γραμμή μεταφοράς. Πράγματι σε μία εξεταζόμενη θέση ή τιμή τής απώλειας φορτίου πού αντίστοιχεί σε μία τιμή τής παροχής, ή όποια προκύπτει από δυσμενή διάταξη τών άνοιχτών υδροληψιών μέσα στο δίκτυο, είναι δυνατό να είναι μεγαλύτερη από μία άλλη τιμή τής απώλειας ή όποια αντίστοιχεί σε μεγαλύτερη παροχή, αλλά προκύπτει από ευμενέστερη διάταξη τών άνοιχτών υδροληψιών.

Με τήν παραδοχή ότι ή κατανομή τής απώλειας φορτίου αποτελεί τó όρθό κριτήριο σχεδιασμού, εκπονήθηκε ή παρούσα εργασία με σκοπό να καθορίσει κατά τρόπο γενικό και όριστικό τις απώλειες φορτίου κατά μήκος όποιασδήποτε διαδρομής του νερού. Στη συνέχεια είναι εύκολο να καθοριστούν τά χαρακτηριστικά μεγέθη σχεδιασμού ενός δικτύου και να δοθεί επίσης ένας άπλος και γρήγυρος τρόπος πού να διευκολύνει τήν παραπέρα διαδικασία ύπολογισμού τών διαμέτρων τής βέλτιστης λύσεως.

"Ετσι :

α) 'Εξετάζεται ή κατανομή τής απώλειας φορτίου και οι παράμετροί της άλλα κατά τρόπο γενικό, ώστε να είναι δυνατή ή εφαρμογή τών εξισώσεων πού προκύπτουν, για όποιασδήποτε συνηθισμένες χρησιμοποιούμενες σχέσεις γραμμικών άπωλειών. 'Επίσης καθορίζονται ποσοστιαία οι αποκλίσεις πού προέρχονται από τήν παράλειψη όρισμένων όρων στον ύπολογισμό τών άπωλειών κι' έτσι δικαιολογείται ή παράλειψή τους πού διευκολύνει όμως πολύ τους ύπολογισμούς και τή μαθηματική επεξεργασία πού ακολουθεί. Για τήν κατανομή τής πιθανότητας απώλειας φορτίου επίσης γίνεται προσπάθεια μιάς όσον τó δυνατό κύστηρότερης εξέτασεως. "Ετσι ή διατύπωση τών εξισώσεων κατά τρόπο γενικότερο και ή ποσοτική εκτίμηση τών προτεινόμενων προσεγγίσεων πού αποτελεί και βάση δικαιολογία γι' αυτές, σε συνδυασμό με τήν κύστηρότερη εξέταση τής κατανομής τής πιθανότητας απώλειας φορτίου (θέματα πού μέχρι τώρα στις ύπάρχουσες εργασίες δέν εξετάσθηκαν γενικά άλλα μόνο σε ειδικές περιπτώσεις), δίνουν τήν εύχέρεια μιάς εύρείας χρησιμοποιησεώς τους για τόν ύπολογισμό τών διαμέτρων τών δικτύων τεχνητής βροχής.

β) Προσεγγίζεται πολύ ικανοποιητικότερα τó πρόβλημα τών άγωγών τελευταίας τάξεως σε ότι άφορά τις απώλειες φορτίου (σε συνάρτηση βέβαια με τήν επιθυμητή ποιότητα λειτουργίας τους) σε σχέση με τις ύπάρχουσες μέχρι σήμερα σχετικές εργασίες.

"Ετσι σε άγωγούς τελευταίας τάξεως καθορίζεται σε κάθε τμήμα τους, ανάλογα με τó πλήθος τών υδροληψιών πού εξυπηρετεί τó κάθε τμήμα, τó πλήθος (άκόμα δέ και ή θέση) τών άνοιχτών υδροληψιών πού πρέπει να γίνουν δεκτές ώστε να καθορισθούν οι «ιδεατές παροχές» σχεδιασμού. Μ' αυτό τόν τρόπο ούσιαστικά μετατρέπεται ένα πιθανοθεωρητικό πρόβλημα σε αίτιοκρατικό και προσδιορίζεται ή απώλεια φορτίου σε κάθε θέση πού όμως αντίστοιχεί στην επιθυμητή ποιότητα λειτουργίας.

'Επίσης με τόν πύό πάνω τρόπο είναι δυνατός και ό καθορισμός τής σχέσεως απώλειας φορτίου με τήν παροχή στην κεφαλή του άγωγού τελευταίας τάξεως. Τελικά επιτυγχάνεται ένας λογικός σχεδιασμός τών άγωγών τελευταίας

τάξεως πού πάντοτε όμως έχει περιθώρια άσφαλείας, δηλαδή δίνει ένα λογικό ποσοστό αύξημένης ποιότητας λειτουργίας. Πάντως άποφεύγεται ό συνηθισμένος μέχρι τώρα πραγματοποιούμενος υπερβολικός υπερσχεδιασμός τών άγωγών τελευταίας τάξεως και επομένως προκύπτει μία σημαντική οικονομία στο δίκτυο.

Ειδικότερα στο θέμα τών άγωγών τελευταίας τάξεως διατυπώνονται πολλές φορές άπόψεις για τή σκοπιμότητα ενός υπερσχεδιασμού, ό όποιος καλύτερα αστάθμητους παράγοντες. Παρά όμως πρέπει να θεωρείται απόλυτα άναγκαίο ότι πρέπει να καθορίζεται ένας σωστός τρόπος ύπολογισμού τών άγωγών τελευταίας τάξεως ώστε να διατηρείται και σ' αυτούς ή επιθυμητή ποιότητα λειτουργίας ή να υπερβάλλεται ληγικά. 'Από κεί και πέρα κάθε επιθυμητός υπερσχεδιασμός θα είναι δυνατός άλλα τουλάχιστο θα καθορίζεται και τó μέγεθός του από μία σωστή άφετηρία.

γ) Με κάποιες ικανοποιητικές προσεγγίσεις ή με άλλα λόγια με κάποιες άνεκτές και μικρές άποχές, από τις προκύπτουσες θεωρητικά εξισώσεις, καθορίζονται οι όριστικές εξισώσεις τής απώλειας φορτίου, πού έχουν μία άπλη και εύχρηστη μορφή για τις εφαρμογές. 'Εκείνο όμως πού είναι σημαντικό, είναι ότι με τήν όριστική αυτή άπλη μορφή τών εξισώσεων είναι δυνατός ένας άπλοσάτος καθορισμός «ιδεατών παροχών» πού εφαρμυζόμενες στα διάφορα τμήματα ή θέσεις του δικτύου δίνουν άκριβώς τις απώλειες φορτίου πού αντίστοιχούν σε κάποια όρισμένη επιθυμητή ποιότητα λειτουργίας.

Μ' αυτό τόν τρόπο τελικά ένα πρόβλημα πού έχει καθαρά πιθανοθεωρητικό χαρακτήρα και εξαρτείται από τυχαία φαινόμενα (πού θα έπρεπε κάθε φορά να επιλύεται με εξομοίωση ή με τή χρήση τών εξισώσεων κατανομής τής απώλειας φορτίου) καθίσταται πρόβλημα με αίτιοκρατικό χαρακτήρα (deterministic).

"Ετσι θα είναι πολύ εύκολο σ' ένα δίκτυο να καθορίζουμε για κάθε τμήμα του τις «ιδεατές παροχές» σχεδιασμού και σε συνέχεια να εφαρμυζουμε γνωστές μεθοδολογίες ή άλγόριθμους βελτιστοποιήσεως για τόν προσδιορισμό τών διαμέτρων.

Καταλήγουμε μ' αυτό τόν τρόπο να ακολουθούμε τήν κλασική διαδικασία ύπολογισμού διαμέτρων ενός δικτύου, πού γνωρίζουμε τις παροχές σχεδιασμού του και φυσικά τά λοιπά στοιχεία τής χαράξεώς του όπως επίσης και τις δεσμεύσεις του προβλήματος. 'Εξυπακούεται βέβαια, ότι οι παροχές αυτές είναι «ιδεατές» και δέν πληρούν τους νόμους τής συνεχείας. 'Επίσης σημειώνεται ότι για τά εξεταζόμενα θέματα πού αποτελούν αντικείμενο τής παρούσας εργασίας έγινε εξαγωγή άποτελεσμάτων με τή χρήση τών προτεινόμενων προσεγγιστικών εξισώσεων σε συγκεκριμένα άπλά αριθμητικά παραδείγματα. Τά άποτελέσματα αυτά συγκρίθηκαν με τά άποτελέσματα πού προέκυψαν από εξομοίωση τής λειτουργίας τών γραμμών μεταφοράς πού πάρθηκαν για παραδείγματα στην εφαρμογή τών πύό πάνω εξισώσεων. 'Αποδείχτηκε κατ' αυτό τόν τρόπο και στις περιπτώσεις τών παραδειγμάτων ότι με τις προτεινόμενες μεθόδους ύπολογισμού ή προσέγγιση είναι πολύ ικανοποιητική.

"Ετσι με τήν παρούσα εργασία γίνεται με πολύ άπλο τρόπο όριστικά τó πρόβλημα του όρθου ύπολογισμού τών άρδευτικών δικτύων πού λειτουργούν κατά ζήτηση και εξασφαλίζεται ή όμοιομορφη ποιότητα λειτουργίας τους, χάρη στις προτεινόμενες τιμές τών «ιδεατών παροχών σχεδιασμού». 'Αποφεύγεται επομένως ή εφαρμογή αυθαίρετων ή περίπου αυθαίρετων παροχών σχεδιασμού πού έχει σαν άποτέλεσμα στις περισσότερες περιπτώσεις να δημιουργεί σοβαρό υπερσχεδιασμό.

Σημειώνεται πάντως τó γεγονός ότι με τήν εφαρμογή τών «ιδεατών» παροχών δέν απαιτείται πλέον να βρεθεί [15] ένας νέος άλγόριθμος βελτιστοποιήσεως για να δώσει λύση στο πρόβλημα του βέλτιστου συνδυασμού τών διαμέτρων. "Ετσι με τις καθοριζόμενες τιμές ιδεατών παροχών σαν παροχών σχεδιασμού λύθηκε όχι μόνο ένα πιθανοθεωρητικό πρόβλημα πού καθίσταται αίτιοκρατικό, άλλα και ένα πρόβλημα βελτιστοποιήσεως. Αυτό είναι φανερό γιατί πλέον ή βελτιστοποίηση μπορεί να γίνεται άπλά και εύκολα με τους χρησιμοποιούμενους σήμερα άλγόριθμους, π.χ. τής μεθόδου Y. Labye [7,8] εφαρμυζοντας σαν παροχές τις «ιδεατές». Τέλος, σημειώνεται ιδιαίτερα τó γεγονός ότι με τήν εφαρμογή του προτεινόμενου

τρόπου υπολογισμού ενός δικτύου και φυσικά με την άποδοχή των προτεινόμενων κριτηρίων σχεδιασμού, από τη μία μεριά διατηρείται ομοιόμορφη ποιότητα λειτουργίας και όχι μικρότερη από την επιθυμητή, ενώ από την άλλη μεριά αποφεύγεται ο υπερσχεδιασμός των άκτινωτών υπό πίεση δικτύων αρδύσεως που λειτουργούν κατά ζήτηση. Επίσης όπως είναι φανερό, επειδή οι ιδεατές παροχές σχεδιασμού που προτείνονται για τις εφαρμογές, είναι μικρότερες από τις εφαρμοζόμενες σήμερα στο σχεδιασμό δικτύων τεχνητής βροχής, θα προκύψει μία οικονομία στις δαπάνες κατασκευής των. Η οικονομία αυτή θα ποικίλει από ένα μικρό ελάχιστο ποσοστό της τάξεως του 15% και θα φθάσει ενδεχόμενα μέχρι και το 50% της δαπάνης που απαιτείται για το σωστό σχεδιασμό ενός δικτύου (ή όποια αντίστοιχεί στις ιδεατές παροχές που προτείνονται εδώ).

Στο κεφάλαιο 7 από ένα χαρακτηριστικό παράδειγμα και τα σχετικά συμπεράσματα φαίνονται όρισμένα οικονομικά αποτελέσματα και προκύπτει ότι το αναμφισβήτητο ποσοστό οικονομίας στις δαπάνες σχεδιασμού ποικίλλει ανάλογα με τη μορφή και το μέγεθος του δικτύου, το ανάγλυφο του εδάφους, τη διάταξη των υδροληψιών, το κόστος των σωλήνων κλπ.

Κατά ένα μέσο όμως στατιστικό όρο μπορεί να εκτιμηθεί ότι, όπως σχεδιάζονται σήμερα τα δίκτυα στη χώρα μας δημιουργούνται δαπάνες που είναι οπωσδήποτε μεγαλύτερες σε σύγκριση με τις δαπάνες ενός σωστού σχεδιασμού κατά 20-25% τουλάχιστο ή με άλλα λόγια επ' όσον τα δίκτυα σχεδιασθούν σωστά μπορεί να επιτυγχάνεται κατά μέσο όρο μία οικονομία κατά ελάχιστο 20% επί του ολικού κόστους των πραγματοποιούμενων σήμερα δαπανών για την κατασκευή τους (σωλήνες, χρωματουργικά, κ.λ.π.).

Το οικονομικό αυτό αποτέλεσμα είναι πάρα πολύ σοβαρό και προσθέτει ακόμα ένα σημαντικό στοιχείο που πρέπει να λαμβάνεται υπόψη στο έλο θέμα της εφαρμογής ενός σωστού τρόπου σχεδιασμού των αρδευτικών δικτύων τεχνητής βροχής.

2. Οι Γραμμικές Απώλειες

Η γενικευμένη σχέση Darcy - Weisbach για τον υπολογισμό των απωλειών ενέργειας σε ομοιόμορφη ροή μέσα σε κλειστούς κυκλικούς αγωγούς υπό πίεση (που καλούνται και γραμμικές απώλειες) είναι :

$$h = f \cdot \frac{L}{D} \cdot \frac{u^2}{2g} \tag{5}$$

Για σωλήνες έμπορίου ο συντελεστής τριβών f δίδεται από την ήμπεμπειρική σχέση των Colebrook - White

$$\frac{1}{f^{1/2}} = 1,14 - 2,3 \log \left(\frac{K_s}{D} + \frac{9,35}{N_R f^{1/2}} \right) \tag{6}$$

όπου N_R ο αριθμός Reynolds και K_s/D ή σχετική τραχύτητα [10]

Η χρήση των παραπάνω εξισώσεων είναι δυσχερής για την επίλυση διαφόρων προβλημάτων των δικτύων διανομής ύδατος. Γιαυτό συνήθως εφαρμόζονται εμπειρικοί τύποι που ή χρησιμοποίησή τους γίνεται δεκτή, άρκει ο μηχανικός που τους εφαρμόζει να γνωρίζει το πραγματικό πεδίο εφαρμογής τους.

Συνήθως οι τύποι αυτοί παίρνουν την εξής γενική μορφή

$$u = C \cdot R^x \cdot S^y$$

όπου u = μέση ταχύτης

C = συντελεστής απωλειών

R = υδραυλική ακτίνα = $D/4$

S = κλίση γραμμής ενέργειας = $\frac{\Delta h}{L}$

x, y = αριθμητικοί εκθέτες που είναι συνήθως $x = \frac{1}{2}$

έως $2/3$ και $y = 0,50$ έως $0,57$ περίπου

Έτσι, αν λάβουμε υπόψη ότι $u = \frac{Q}{\pi \cdot D^2/4}$, $R = D/4$

και $S = \Delta h/L$ ή πιο πάνω σχέση παίρνει την εξής μορφή αν επίλυσουμε ως προς τη μεταβολή (Δh) του φορτίου.

$$\Delta h = 4^{1/y} \left(\frac{1}{c \cdot \pi} + 4^x \right) \cdot D^{-\left(\frac{2+x}{y} \right)} \cdot Q^{1/y} \cdot L$$

όποτε αν θέσουμε $4^{1/y} \left(\frac{1}{c \cdot \pi} + 4^x \right) = C_0$ και το $\Delta h = h$

$$\text{θα έχουμε } h = C_0 \cdot D^{-\left(\frac{2+x}{y} \right)} \cdot Q^{1/y} \cdot L \tag{7}$$

π.χ. για τον τύπο του Manning ή σχέση (7) για $x = 2/3$ και $y = 1/2$ γίνεται

$$h = C_0 \cdot D^{-10/3} \cdot Q^2 \cdot L \tag{8}$$

όπου $C_0 = 10,3 \cdot n^2$ (n = συντελεστής τραχύτητας)

Γενικά οι τιμές των εκθετών κυμαίνονται στα εξής όρια συνήθως :

$$\alpha = \frac{1}{y} = \text{από περίπου } 1,76 \text{ έως } 2,00$$

$$\beta = \frac{2+x}{y} = \text{από περίπου } 4,71 \text{ έως } 16/3 = 5,333$$

Θέτοντας στη σχέση (7)

$$C_0 \cdot D^{-\left(\frac{2+x}{y} \right)} = C_0 \cdot D^{-\beta} = K_0 \tag{9}$$

$$K_0 \cdot L = K \tag{10}$$

$$\frac{1}{y} = \alpha \tag{11}$$

$$\text{Θα έχουμε τελικά } h = K \cdot Q^\alpha \tag{12}$$

Η σχέση (12) στην περίπτωση εφαρμογής του τύπου του Manning γίνεται

$$h = K \cdot Q^2 \tag{12α}$$

$$\text{όπου } K = K_0 \cdot L = C_0 \cdot D^{-16/3} \cdot L \tag{12β}$$

$$\text{και } C_0 = 10,3 \cdot n^2$$

Η σχέση (12) αν λάβουμε υπόψη τη σχέση (2) δηλαδή ότι $Q = \mu + \epsilon \cdot \sigma$ γίνεται

$$h = K \cdot (\mu + \epsilon \sigma)^\alpha = K \mu^\alpha \left(1 + \frac{\epsilon \sigma}{\mu} \right)^\alpha$$

όπου συνήθως $0 < \frac{\epsilon \sigma}{\mu} < \epsilon \cdot C_v < 1$, $C_v = \frac{\sigma}{\mu}$ = συντελεστής μεταβολής παροχών.

Πράγματι επειδή συνήθως $C_v \leq 0,45$ και $\epsilon \leq 1,65$ ισχύει ή πιο πάνω ανίσωτητα $\epsilon \cdot C_v < 1$. Αλλά ακόμη και όταν $\epsilon = 2,33$ που σπάνια συμβαίνει, και με ένα ακόμη τροποδοτούμενο κλάδο που εξυπηρετεί τουλάχιστον 11 στόμια το $C_v \leq 0,426$ όποτε πάλι $\epsilon \cdot C_v < 1$. Δηλαδή γενικά μπορούμε να δεχθούμε ότι $\epsilon \cdot C_v < 1$. Στη συνέχεια με τη βοήθεια του τύπου του Taylor [11,12],

$$\text{αν αναπτύξουμε τη σχέση } h = K \mu^\alpha \left(1 + \frac{\epsilon \sigma}{\mu} \right)^\alpha = K \mu^\alpha (1 +$$

$\epsilon C_v)^\alpha$ έχουμε, λαμβάνοντας τους τρεις πρώτους όρους που δίνουν ικανοποιητική προσέγγιση, ότι

$$h + K \mu^\alpha + \left[1 + \alpha \left(\frac{\epsilon \sigma}{\mu} \right) + \frac{\alpha(\alpha-1)}{2} \left(\frac{\epsilon \sigma}{\mu} \right)^2 \right] = K \left[\mu^\alpha + \alpha \mu^{\alpha-1} (\epsilon \sigma) + \frac{\alpha(\alpha-1)}{2} \mu^{\alpha-2} (\epsilon \sigma)^2 \right] \tag{13}$$

ή επειδή $\frac{\sigma}{\mu} = C_v$

$$h = K \mu^\alpha \left[1 + \alpha \cdot \epsilon \cdot C_v + \frac{\alpha(\alpha-1)}{2} \cdot \epsilon^2 \cdot C_v^2 \right] \tag{13α}$$

Για $\alpha = 2,00$ (π.χ. τύπος του Manning) οι σχέσεις (13) και (13α) γίνονται :

$$h = K(\mu^2 + 2\epsilon\mu\sigma + \epsilon^2\sigma^2) = K\mu^2(1 + 2\epsilon C_{v1} + \epsilon^2 C_{v1}^2) \quad (14)$$

Με τις σχέσεις (13) ή (14) έχουμε εκφράσει τις απώλειες φορτίου (γραμμικές απώλειες) σ' ένα τμήμα του δικτύου που βρίσκεται μεταξύ δύο κόμβων, κατά τρόπο που καθορίζεται από ένα πιθανοθεωρητικό σχήμα ζήτησεως και μάλιστα υποθέτοντας ειδικότερα ότι, η κατάντη ζήτηση ακολουθεί την κανονική κατανομή.

Έτσι από κάθε εξεταζόμενο τμήμα ή κλάδο ενός αγωγού μεταφοράς θα πρέπει να εξυπηρετείται τουλάχιστον ένας αγωγός τελευταίας τάξεως, που θα έχει επίσης τουλάχιστο 10 στόμια υδροληψίας, ώστε η παροχή στην κεφαλή του να ακολουθεί την κανονική κατανομή.

Παρατηρούμε τέλος, ότι οι διάφορες τοπικές απώλειες δεν εξετάζονται ιδιαίτερα, αλλά γενικά συμπεριλαμβάνονται μέσα στις γραμμικές. Γι' αυτό αν υπάρχει ανάγκη γίνεται προσ- αύξηση των γραμμικών π.χ. με ποσοστιαία προσ- αύξηση του συντελεστού C_0 της σχέσεως (7). Αυτό διευκολύνει ιδιαίτερα τη μαθηματική και υπολογιστική επεξεργασία των σχετικών προβλημάτων και δε δημιουργεί κανένα θέμα στά προκύ- πτοντα αποτελέσματα, πολύ μάλιστα περισσότερο που οι το- πικές απώλειες είναι συνήθως πολύ μικρές σε σχέση με τις γραμμικές.

3. Οι παράμετροι της κατανομής απώλειας φορτίου.

Για τη μελέτη της κατανομής της ολικής απώλειας φορτίου σε μια γραμμή μεταφοράς, όπως ονομάσαμε τη γραμμή που συνδέει ένα σημείο τροφοδοσίας και ένα άνωτατο σημείο υ- δροληψίας, έχουμε διατυπώσει τις σχέσεις (13), (13α) και (14), για τὸ τμήμα ή τὸν κλάδο i της γραμμής. Έτσι η ολική απώλεια θα είναι για ὄλη τη γραμμή :

$$h = \sum h_i = \sum K_i \mu_i^\alpha \left[1 + \alpha \epsilon_i C_{vi} + \frac{\alpha(\alpha-1)}{2} \epsilon_i^2 C_{vi}^2 \right] \quad (15)$$

Η συνάρτηση (15) καθορίζει την κατανομή πιθανότητας της τυχαίας μεταβλητής h όπου :

$$h = m + u.S \quad (16)$$

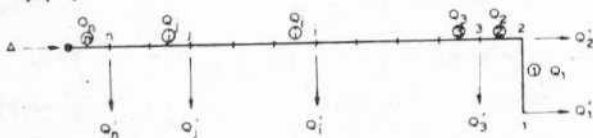
- m = μέση τιμή απώλειας φορτίου
- β = τυπική απόκλιση φορτίου
- $\mu = \frac{h-m}{S}$ = τυποποιημένη τιμή της απώλειας φορτίου

Τὰ K , μ , C_v , ϵ και α καθορίστηκαν στά προηγούμενα κεφάλαια. Έτσι, αν $u(\varphi)$ είναι η τιμή της u για στάθμη πιθανό- τητας φ τότε ὁ αγωγός τελευταίας τάξεως, τὸν ὁποῖο περι- λαμβάνει η εξεταζόμενη γραμμή μεταφοράς, θα χαρακτηρί- ζεται ἀπὸ ποιότητα λειτουργίας φ ἂν τὸ ὕψόμετρο της πιεζο- μετρικής γραμμής (ή κατὰ προσέγγιση τὸ ὕψόμετρο της γραμ- μής ἐνεργείας) είναι στην κεφαλή A (σχ. 3.1) ἴσο πρὸς :

$$H_\Delta = m + u(\varphi) \cdot S + H_0 \quad (17)$$

ὅπου H_0 είναι τὸ ἀπαιτούμενο ὕψόμετρο της πιεζομετρικής γραμμής στο ἀνώτατο ἐξυπηρετούμενο σημείο.

Για τη διεξαγωγή τῶν παραπέρα μαθηματικῶν μετασχη- ματισμῶν δίδουμε στό σχ. 3.1 τὴν εἰκόνα μιᾶς γραμμής με- ταφοράς.



Η γραμμή αυτή αποτελείται από n κλάδους ή τμήματα και ὁ κλάδος (1) είναι ὁ αγωγός (ή κλάδος) τελευταίας τάξεως που έχει στην κεφαλή παροχή $Q_1 = Q'_1$ ή ὁποία ἀκολουθεῖ τὴν κανονική κατανομή.

Ἀντίστοιχες παροχές με κανονική κατανομή ζητούνται στους κόμβους 2,3, ..., i, ..., j, ..., n για τὴν ἐξυπηρέτηση ἀγωγῶν ή κλάδων τελευταίας ή μεγαλύτερας τάξεως.

Ἀπὸ τὴ σχέση (15) μπορούμε νὰ βροῦμε τὴ μέση τιμή της τυχαίας μεταβλητής, ὅποτε θὰ ἔχουμε :

$$m = E(h) = \sum K_i \mu_i^\alpha \left[1 + \alpha C_{vi} \cdot E(\epsilon_i) + \frac{\alpha(\alpha-1)}{2} C_{vi}^2 \cdot E(\epsilon_i^2) \right] \quad (18)$$

και ἐπειδὴ $E(\epsilon_i) = 0$, $E(\epsilon_i^2) = 1$ βρίσκουμε

$$m = \sum K_i \mu_i^\alpha \left[1 + \frac{\alpha(\alpha-1)}{2} C_{vi}^2 \right] \quad (19)$$

ή

$$m = \sum K_i \left[\mu_i^\alpha + \frac{\alpha(\alpha-1)}{2} \mu_i^{\alpha-2} \cdot \sigma_i^2 \right] \quad (19a)$$

Για τὴ διακύμανση της απώλειας φορτίου ἔχουμε [6,13]

$$\text{Var.} h = S^2 \quad \text{ὅπου } h = \sum h_i$$

Θὰ εἶναι $\text{Var.} h = \sum \text{Var.} h_i + 2 \sum \text{Cov.} (h_i, h_j) \quad (20)$

$j > i$

ὅπου $\text{Cov.} (h_i, h_j) =$ συνδιακύμανση τῶν h_i, h_j

Ἄν καλέσουμε $\frac{\alpha(\alpha-1)}{2} = \gamma$ ή σχέση (20) γίνεται

$$\text{Var.} h = S^2 = \sum K_i^2 \mu_i^{2\alpha} \alpha^2 C_{vi}^2 \cdot \text{Var.} (\epsilon_i) + \sum K_i^2 \cdot \mu_i^{2\alpha} \cdot \gamma^2 \cdot C_{vi}^2 \cdot \text{Var.} (\epsilon_i^2) + 2 \sum \text{Cov.} (h_i, h_j) \quad (21)$$

Ἄλλά :

$$2 \sum \text{Cov.} (h_i, h_j) = 2 \sum_{j>i} \text{Cov.} \left[\left[K_i \mu_i^\alpha (1 + \alpha \epsilon_i C_{vi} + \gamma \epsilon_i^2 C_{vi}^2) \right] \cdot \left[K_j \mu_j^\alpha (1 + \alpha \epsilon_j C_{vj} + \gamma \epsilon_j^2 C_{vj}^2) \right] \right] \quad (22)$$

ή ἂν λάβουμε ὑπόψη ὅτι μπορούμε νὰ θέσουμε

$$Q_j = Q_i + Q_p$$

ὅπου Q_p ή παροχή που συμβάλλει μεταξύ τῶν σημείων i και j (σχ. 3.1) και ή ὁποία ἀκολουθεῖ τὴν κανονική κατανομή. Προκύπτει τότε ὅτι $\epsilon_j = \epsilon_i + \epsilon_p = (\mu_i + \epsilon_i \sigma_i) + (\mu_p + \epsilon_p \cdot \sigma_p)$

Ἐπειδὴ ὁμοως $\mu_j = \mu_i + \mu_p$ προκύπτει τελικὰ ὅτι

$$\epsilon_j = \epsilon_i \left(\frac{\sigma_i}{\sigma_j} \right) + \epsilon_p \left(\frac{\sigma_p}{\sigma_j} \right) \quad (23)$$

ὅποτε ή σχέση (22) με ἀντικατάσταση του ϵ_j ἀπὸ τὴν (23) θὰ γίνει :

$$2 \text{Cov.} (h_i, h_j) = 2 \sum_{j>i} \text{Cov.} \left\{ \left[K_i \mu_i^\alpha (1 + \alpha \epsilon_i C_{vi} + \gamma \epsilon_i^2 C_{vi}^2) \right] \cdot \left[K_j \mu_j^\alpha \left(1 + \alpha C_{vj} \left(\epsilon_i \frac{\sigma_i}{\sigma_j} + \epsilon_p \frac{\sigma_p}{\sigma_j} \right) + \gamma C_{vj}^2 \left(\epsilon_i^2 \left(\frac{\sigma_i}{\sigma_j} \right)^2 + \epsilon_p^2 \left(\frac{\sigma_p}{\sigma_j} \right)^2 + 2 \epsilon_i \epsilon_p \left(\frac{\sigma_i \cdot \sigma_p}{\sigma_j^2} \right) \right) \right] \right\} \quad (24)$$

Παρατηρούμε ὅτι τὰ ϵ_i , ϵ_p είναι ἀνεξάρτητες μεταβλητές και ἐπομένως ὅλες ὁ συνδιακυμάνσεις τους θὰ εἶναι μηδενικές. Οἱ ὑπόλοιπες μορφές συνδιακυμάνσεων θὰ εἶναι :

$$\begin{matrix} \text{Cov.} (\epsilon_i, \epsilon_i^2) & , & \text{Cov.} (\epsilon_i, \epsilon_i \epsilon_p) & , & \text{Cov.} (\epsilon_i^2, \epsilon_i) \\ \text{Cov.} (\epsilon_i^2, \epsilon_i^2) & , & \text{Cov.} (\epsilon_i^2, \epsilon_i \epsilon_p) & , & \text{Cov.} (\epsilon_i, \epsilon_i) \end{matrix}$$

Στὴ συνέχεια ἂν λάβουμε ὑπόψη ὅτι για δύο ὁποιοσδήποτε τυχαῖες μεταβλητές x και y ἰσχύει ή σχέση.

$$\text{Cov.} (x, y) = E(xy) - E(x) \cdot E(y) \quad (25)$$

Τότε $\text{Cov.} (\epsilon_i, \epsilon_i^2) = E(\epsilon_i^3) - E(\epsilon_i) E(\epsilon_i^2) = 0$

$$\text{Cov.} (\epsilon_i^2, \epsilon) = E(\epsilon_i^3) - E(\epsilon_i^2) E(\epsilon) = 0$$

$$\begin{aligned} \text{Cov.} (\epsilon_i, \epsilon_i \epsilon_p) &= E(\epsilon_i^2 \epsilon_p) - E(\epsilon_i) \cdot E(\epsilon_i \epsilon_p) = \\ &= E(\epsilon_i^2) \cdot E(\epsilon_p) - E(\epsilon_i) E(\epsilon_i \epsilon_p) = 0 \end{aligned}$$

$$\begin{aligned} \text{Cov.}(e_i^2, e_i \cdot e_p) &= E(e_i^3 \cdot e_p) - E(e_i^2) \cdot E(e_i \cdot e_p) = \\ &= E(e_i^3) E(e_p) - E(e_i^2) E(e_i) E(e_p) = 0 \end{aligned}$$

Επομένως η σχέση (24) γίνεται αφού λάβουμε υπόψη τις παραπάνω τιμές των συνδιακυμάνσεων που προέκυψαν με εφαρμογή της σχέσης (25) και επί πλέον ότι $\text{Cov.}(e_j, e_i) = \text{Cov}(e_j^2, e_i^2) = 1$

$$\begin{aligned} 2\Sigma \text{Cov.}(h_i, h_j) &= 2 \left[\Sigma_{j>i} K_i K_j \mu_i^\alpha \mu_j^\alpha \cdot C_{vi} \cdot C_{vj} \cdot \alpha^2 \frac{\sigma_i}{\sigma_j} + \right. \\ &\quad \left. + \Sigma_{j>i} K_i K_j \mu_i^\alpha \mu_j^\alpha \cdot \gamma^2 C_{vi} \cdot C_{vj} \left(\frac{\sigma_i}{\sigma_j} \right)^2 \right] \end{aligned} \quad (26)$$

Τελικά η σχέση (21) γίνεται αν λάβουμε υπόψη ότι

$$\begin{aligned} \text{Var.}(e_i) &= 1 \quad \text{και} \quad \text{Var.}(e_i^2) = 2 \\ S &= \left[\Sigma K_i^2 \mu_i^{2\alpha} C_{vi}^2 (\alpha^2 + 2\gamma^2 C_{vi}^2) + \right. \\ &\quad \left. + 2 \Sigma_{j>i} K_i K_j \mu_i^\alpha \mu_j^\alpha C_{vi} C_{vj} \left(\frac{\sigma_i}{\sigma_j} \right) \cdot \left[\alpha^2 + \gamma^2 C_{vi} C_{vj} \left(\frac{\sigma_i}{\sigma_j} \right) \right]^{1/2} \right] \end{aligned} \quad (27)$$

Η σχέση (27) στην περίπτωση που $\alpha = 2,00$ όποτε αντίστοιχα $\gamma = 1,00$ γίνεται:

$$\begin{aligned} S &= 2 \left[\Sigma (K_i \mu_i \sigma_i)^2 + 2 \Sigma_{j>i} K_i K_j \mu_i \mu_j \sigma_i^2 + \right. \\ &\quad \left. + \frac{1}{2} \Sigma_{j>i} (K_i^2 \sigma_i^4 + K_i K_j \sigma_i^4) \right]^{1/2} \end{aligned} \quad (28)$$

Επίσης η σχέση (27) αν λάβουμε υπόψη ότι $C_v = \frac{\sigma}{\mu}$ μπορεί να λάβει και την εξής μορφή:

$$\begin{aligned} S &= \alpha \left[\Sigma (K_i \mu_i^{\alpha-1} \sigma_i)^2 + 2 \Sigma_{j>i} (K_i K_j \mu_i^{\alpha-1} \mu_j^{\alpha-1} \sigma_i^2) + \right. \\ &\quad \left. + 2 \left(\frac{\gamma}{\alpha} \right)^2 (\Sigma K_i^2 \mu_i^{2(\alpha-2)} \cdot \sigma_i^4 + \right. \\ &\quad \left. + \Sigma_{j>i} K_i K_j \mu_i^{\alpha-2} \mu_j^{\alpha-2} \cdot \sigma_i^4) \right]^{1/2} \end{aligned} \quad (29)$$

Επειδή όμως ο συντελεστής μεταβολής των παροχών είναι

$$C_v = \left[\frac{1-P}{R \cdot P} \right]^{1/2}$$

όποτε για μια λογικά περίπου κατώτερη τιμή $P = \frac{1}{3}$ και

$$R = 10 \text{ στόμια προκύπτει } \max C_v = 0,45 \text{ ή } \mu_i \geq \frac{1}{0,45} \cdot \sigma$$

ή $\mu_i \geq 2,222 \sigma_i$ ή $\mu_i^2 \geq 5\sigma_i^2$ περίπου.

Αποδεικνύεται τότε ότι η παράλειψη των δύο τελευταίων όρων της εξίσωσης (29) — ή όποια απόδειξη δέ δίδεται στην παρούσα δημοσίευση — μειώνει την τιμή της απόκλισης της απώλειας φορτίου, κατά ποσοστό που είναι μικρότερο από 3,20%. Στην πραγματικότητα βέβαια επειδή το αποτέλεσμα έχει προκύψει με δυσμενείς παραδοχές είναι πολύ μικρότερο, π.χ. έκτιμάμε ότι είναι πάντοτε μικρότερο του 1%.

Έτσι η εξίσωση (17) που εκφράζει την απώλεια φορτίου κατά μήκος μιας γραμμής μεταφοράς γίνεται σε συνδυασμό με τις (19α), και (29)

$$\begin{aligned} H_\Delta &= \Sigma K_i \left(\mu_i^\alpha + \frac{\alpha(\alpha-1)}{2} \mu_i^{\alpha-2} \cdot \sigma_i^2 \right) + \\ &\quad + \alpha \cdot u_{(\varphi)} \left[\Sigma (K_i \mu_i^{\alpha-1} \sigma_i)^2 + \right. \\ &\quad \left. + 2 \Sigma_{j>i} K_i K_j \mu_i^{\alpha-1} \mu_j^{\alpha-1} \sigma_i^2 \right]^{1/2} + H_0 \end{aligned} \quad (30)$$

δπου $\alpha = 1,76$ έως 2,00

Για $\alpha = 2,00$ η σχέση (35) γίνεται

$$\begin{aligned} H_\Delta &= K_i (\mu_i^2 + \sigma_i^2) + 2 \cdot u_{(\varphi)} \left[\Sigma (K_i \mu_i \sigma_i)^2 + \right. \\ &\quad \left. + 2 \Sigma_{j>i} K_i K_j \mu_i \mu_j \sigma_i^2 \right]^{1/2} + H_0 \end{aligned} \quad (31)$$

Στις πιο πάνω σχέσεις $u_{(\varphi)}$ = η τιμή της μεταβλητής u της σχέσεως (16) για στάθμη πιθανότητας φ .

Στη συνέχεια παρατηρούμε ότι η απόκλιση

$$\begin{aligned} S &= \alpha \left[\Sigma (K_i \mu_i^{\alpha-1} \sigma_i)^2 + 2 \Sigma_{j>i} K_i K_j \mu_i^{\alpha-1} \mu_j^{\alpha-1} \sigma_i^2 \right]^{1/2} < \\ &< \alpha \cdot \left[(\Sigma K_i \mu_i^{\alpha-1} \sigma_i)^2 \right]^{1/2} = \alpha \cdot (\Sigma K_i \mu_i^{\alpha-1} \sigma_i) \end{aligned} \quad (32)$$

και τούτο γιατί

$$\begin{aligned} (\Sigma K_i \mu_i^{\alpha-1} \sigma_i)^2 &= \Sigma (K_i \mu_i^{\alpha-1} \sigma_i)^2 + \\ &+ 2 \Sigma_{j>i} K_i K_j \mu_i^{\alpha-1} \mu_j^{\alpha-1} \sigma_i \sigma_j > \Sigma (K_i \mu_i^{\alpha-1} \sigma_i)^2 + \\ &+ 2 \Sigma_{j>i} K_i K_j \mu_i^{\alpha-1} \mu_j^{\alpha-1} \sigma_i^2 (= S^2) \end{aligned}$$

τό όποιο ισχύει γιατί πάντοτε $\sigma_j > \sigma_i$

$$\text{Άρα αν ονομάσουμε σαν } S' = \alpha \cdot \Sigma (K_i \mu_i^{\alpha-1} \sigma_i) \quad (33)$$

όποτε θα είναι πάντοτε $S' > S$ και θέσουμε

$$u_{(\varphi)} \cdot S = u_{(\varphi)} \cdot S' \quad (34)$$

θα έχουμε την τελική έκφραση των εξισώσεων (30) και (31)

$$\begin{aligned} H_\Delta &= \Sigma K_i \left(\mu_i^\alpha + \frac{\alpha(\alpha-1)}{2} \mu_i^{\alpha-2} \sigma_i^2 \right) + \\ &+ u_{(\varphi)} \cdot \alpha (\Sigma K_i \mu_i^{\alpha-1} \sigma_i) + H_0 \end{aligned} \quad (35)$$

και για $\alpha = 2,00$

$$H_\Delta = \Sigma K_i (\mu_i^2 + \sigma_i^2) + 2 \cdot u_{(\varphi)} \cdot \Sigma K_i \mu_i \sigma_i + H_0 \quad (36)$$

Δηλαδή η σχέση (17) παίρνει τη μορφή $H_\Delta =$

$$= m + u_{(\varphi)} \cdot S' + H_0$$

Οι εξισώσεις (35) και (36) όπως θα δούμε στο κεφάλαιο 5 είναι πολύ ενδιαφέρουσες, αρκεί να καθορίσουμε μια σχέση των S και S' που θα μπορεί να μάς δώσει τελικά την κατανομή της $u_{(\varphi)}$ ή όποια είναι $u_{(\varphi)} = u_{(\varphi)} \cdot \frac{S}{S'} \cdot S' \cdot u_{(\varphi)} < u_{(\varphi)}$

Πράγματι έφσον επιτύχουμε αυτό θα έχουμε εκφράσει την απώλεια φορτίου μ' έναν πολύ απλό τρόπο της μορφής

$$h = \Sigma K_i Q_i^\alpha \quad (37)$$

δπου η $Q_i = Q_i(\mu_i, \sigma_i)$ θα είναι μια «ιδεατή παροχή» για κάθε τμήμα (i) όπουδήποτε άγωγού του δικτύου που όταν εφαρμοστεί σε όλα τα τμήματα $i = 1, 2, \dots, n$ μιας γραμμής μεταφοράς θα επαληθεύει τις εξισώσεις (35) ή (36) και κατά συνέπεια τις (30) και (31).

Έτσι μ' αυτό τον απλό τρόπο θα επιλυεται γρήγορα το πρόβλημα του καθορισμού των παροχών σχεδιασμού και σε συνέχεια το πρόβλημα του όρθου καθορισμού των διαμέτρων του δικτύου, ώστε να αποφεύγεται ο πραγματοποιούμενος σήμερα αρκετά αυθαίρετος καθορισμός των παροχών σχεδιασμού και ο υπερσχεδιασμός του δικτύου. Σημειώνεται τέλος, ότι με αυτό τον τρόπο θα μπορούμε, όπως αναφέραμε και στην εισαγωγή, να μετατρέπουμε το πιθανοθεωρητικό πρόβλημα σ' ένα κλασικό «αντερμινιστικό» για τον καθορισμό των διαμέτρων του δικτύου γνωρίζοντας τις παροχές οι όποιες εδώ θα είναι «ιδεατές» και φυσικά όχι πραγματικές.

4. Η κατανομή της πιθανότητας απώλειας φορτίου.

Η απώλεια φορτίου εκφράστηκε από τη σχέση (15) δηλαδή

$$h = \Sigma K_i \mu_i^\alpha \left[1 + \alpha C_{vi} + \gamma \cdot e_i^2 C_{vi}^2 \right]$$

$$\text{δπου } \gamma = \frac{\alpha(\alpha-1)}{2}$$

$\alpha = 1,76$ περίπου έως 2,00

$C_{vi} = \sigma_i / \mu_i =$ συντελεστής μεταβολής των παροχών ϵ_i είναι τυποποιημένη κανονική κατανομή (0,1)

*Αν λάβουμε υπόψη (σχ. 3.1) ότι η παροχή στον κλάδο θα είναι $Q_n = Q_n + Q_{n-1} + \dots + Q_j + \dots + Q_1 + \dots + Q_2 + Q_1$ (38)

με τη βοήθεια των σχέσεων

$$Q_i = \mu_i + \epsilon_i \sigma_i$$

$$\mu_i = \mu_{(i-1)} + \mu_{(i-2)} + \dots + \mu_2 + \mu_1$$

μπορούμε να πάρουμε μια έκφραση της ϵ_n , που αντιστοιχεί στο τμήμα n σαν συνάρτηση όλων των ϵ_i (0,1) που αντιστοιχούν στα κατάντη του n τμήματος ή κλάδους και που συμβάλλουν στη θεωρούμενη γραμμή μεταφοράς. Οι τυχαίες αυτές μεταβλητές ϵ_i είναι φανερά ανεξάρτητες.

*Έχουμε λοιπόν $\epsilon_n = \frac{\sigma_1}{\sigma_n} \epsilon_1 + \dots + \frac{\sigma_n}{\sigma_n} \epsilon_n$ (39)

$$\epsilon_n \text{ είναι δέ } \sigma_n = (\sigma_1^2 + \dots + \sigma_n^2)^{1/2}$$

$$\eta \quad \sigma_n^2 = \sigma_1^2 + \dots + \sigma_n^2$$

Καταλήγουμε έτσι με σχετικές αντικαταστάσεις από τις σχέσεις (38) στη σχέση (15) και με κατάλληλους σχετικούς στοιχειώδεις μετασχηματισμούς να πάρουμε τη σχέση :

$$h = \sum_{i=1}^n K_i \mu_i^\alpha + \alpha \sum_{i=1}^n \alpha_i (\epsilon_i) + \sum_{i=1}^n \beta_i (\epsilon_i^2) + 2 \sum_{j>i} \gamma_i \epsilon_i \epsilon_j \quad (40)$$

δπου $\alpha_i = \sigma_i [K_i \mu_i^{\alpha-1} + \dots + K_n \mu_n^{\alpha-1}]$ ($i = 1, 2, \dots, n$) και $j > i$

$$\beta_i = \gamma(K_i + \dots + K_n) \mu_i^{\alpha-2} \sigma_i^2$$

$$\gamma_i = \gamma(K_j + \dots + K_n) \mu_i^{\alpha-2} \sigma_i \sigma_j$$

Παρατηρούμε ότι για $\alpha = 2,0$ οι σχέσεις (46) γίνονται

$$h = \sum K_i \mu_i^2 + 2 \sum \alpha_i \epsilon_i + \sum \beta_i \epsilon_i^2 + 2 \sum \gamma_i \epsilon_i \epsilon_j \quad (41)$$

δπου $\alpha_i = \sigma_i (K_i \mu_i + \dots + K_n \mu_n)$

$$\beta_i = (K_i + \dots + K_n) \sigma_i^2$$

$$\gamma_i = (K_j + \dots + K_n) \sigma_i \sigma_j$$

*Έτσι βλέπουμε για τον όρο $2 \sum \gamma_i \epsilon_i \epsilon_j$ των σχέσεων (40) ή (41) ότι τα ϵ_i και ϵ_j είναι ανεξάρτητες τυχαίες μεταβλητές (και μάλιστα εδώ είναι τυποποιημένες κανονικής κατανομής $\mu = 0, \sigma = 1$) και επί πλέον ότι :

Γενικά για τις ανεξάρτητες τυχαίες μεταβλητές x, y [6] και αν $E(x) = \mu_x, E(y) = \mu_y, \text{Var}(x) = \sigma_x^2, \text{Var}(y) = \sigma_y^2$ τότε η μέση τιμή και η διακύμανση της συναρτήσεως

$$Z = g(x, y)$$

δίδονται κατά προσέγγιση από τις παρακάτω συναρτήσεις (με τη βοήθεια του τύπου του Taylor)

$$E(Z) = g(\mu_x, \mu_y) + \frac{1}{2} \left(\frac{\partial^2 g}{\partial x^2} \sigma_x^2 + \frac{\partial^2 g}{\partial y^2} \sigma_y^2 \right)$$

$$\text{Var}(Z) = (\Delta Z) = \left(\frac{\partial g}{\partial x} \right)^2 \cdot \sigma_x^2 + \left(\frac{\partial g}{\partial y} \right)^2 \cdot \sigma_y^2$$

δπου οι μερικές παράγωγοι υπολογίζονται στη θέση (μ_x, μ_y)

*Έτσι είναι εύκολο να βρούμε για τη συνάρτηση

$$Z = g(x, y) = x, y \text{ ότι } E(Z) = 0 \text{ και } \text{Var}(Z) = 0$$

Πού σημαίνει ότι για τις συναρτήσεις $2 \sum \gamma_i \epsilon_i \epsilon_j$ θα είναι η μέση τιμή τους και η απόκλιση τους μηδέν δηλαδή ότι ο όρος $2 \sum \gamma_i \epsilon_i \epsilon_j$ μπορεί να θεωρηθεί άμελητός και να θεθεί

$$2 \sum \gamma_i \epsilon_i \epsilon_j \approx 0$$

Το θέμα αυτής της άμελητέας συμβολής του παραπάνω όρου, εξετάστηκε και στην εργασία [15] του Δ. Χριστούλα με τη θεωρήση των συναρτήσεων κατανομής $\epsilon_i \left(1 + \frac{2 \gamma_i}{\alpha_i} \epsilon_j \right) \epsilon_i \chi$ και ϵ_i και τη σύγκριση τιμών της όλικής πιθανότητας σε όρισμένες θέσεις της τυχαίας μεταβλητής.

Μετά από την πιο πάνω εξέταση του προβλήματος της κατανομής και μετά την απόδειξη που έγινε για την άσημαντη επίρροη του όρου $2 \sum \gamma_i \epsilon_i \epsilon_j$ της σχέσεως (40), αυτή η σχέση καταλήγει ως εξής :

$$h = \sum_{i=1}^{i=n} K_i \mu_i^\alpha + \alpha \sum_{i=1}^{i=n} \alpha_i (\epsilon_i) + \sum_{i=1}^{i=n} \beta_i (\epsilon_i)^2 \quad (42)$$

δηλαδή η όλικη απώλεια φορτίου κατά μήκος μιάς γραμμής μεταφοράς εκφράζεται σαν άθροισμα ανεξαρτήτων τυχαίων μεταβλητών.

*Έτσι σύμφωνα με το κεντρικό όριακό θεώρημα [6,15] η κατανομή της απώλειας φορτίου h θα τείνει προς την κανονική κατανομή όσο το πλήθος των κλάδων (ή τμημάτων) αυξάνει και επομένως η μεταβλητή u της σχέσεως (16) θα τείνει να λάβει την τιμή $u = u(\varphi) = \epsilon$ της τυποποιημένης κανονικής κατανομής για την εξεταζόμενη στάθμη πιθανότητας φ .

5. Οι όριστικές εξισώσεις της απώλειας φορτίου και οι ιδεατές παροχές σχεδιασμού.

5.1. Αναζήτηση της εφαρμόσιμης τιμής της μεταβλητής u

Στο κεφάλαιο 3 έχουμε εκφράσει την απώλεια φορτίου κατά μήκος μιάς γραμμής μεταφοράς με τις εξισώσεις (30) και (31), δηλαδή :

$$h = \sum K_i \left[\mu_i^\alpha + \frac{\alpha(\alpha-1)}{2} \mu_i^{\alpha-2} \cdot \sigma_i^2 \right] +$$

$$+ \alpha \cdot u(\varphi) \left[\sum (K_i \mu_i^{\alpha-1} \sigma_i)^2 + 2 \sum_{j>i} K_i K_j \mu_i^{(\alpha-1)} \mu_j^{(\alpha-1)} \cdot \sigma_i^2 \right]^{1/2}$$

δπου $\alpha =$ περίπου 1,76 έως 2,00

$u(\varphi) =$ η τιμή της τυποποιημένης κατανομής για στάθμη πιθανότητας φ .

*Η πιο πάνω σχέση για $\alpha = 2,0$ γίνεται

$$h = \sum K_i (\mu_i^2 + \sigma_i^2) + 2 u(\varphi) \left[\sum (K_i \mu_i \sigma_i)^2 + 2 \sum_{j>i} K_i K_j \mu_i \mu_j \sigma_i^2 \right]^{1/2}$$

*Επίσης με τις εξισώσεις (35) και (36) του κεφ. 3 έχουμε εκφράσει την απώλεια φορτίου κατά ένα τρόπο πιο απλό και χρήσιμο για τις εφαρμογές δηλαδή :

$$h = \sum K_i \left[\left(\mu_i^\alpha + \frac{\alpha(\alpha-1)}{2} \mu_i^{\alpha-2} \cdot \sigma_i^2 \right) + \right.$$

$$\left. + \alpha \cdot u(\varphi) \left[\sum (K_i \mu_i^{\alpha-1} \sigma_i) \right] \right]$$

η για $\alpha = 2,0$

$$h = \sum K_i (\mu_i^2 + \sigma_i^2 + 2 u(\varphi) \mu_i \sigma_i) \text{ δπου } u(\varphi) = u(\varphi) \cdot \frac{S}{S'}$$

και $S =$ απόκλιση απώλειας φορτίου, $S' = \alpha \cdot K_i \mu_i^{\alpha-1} \sigma_i$
 *Απομένει τώρα να προβούμε σε μια έστω και κατά προσέγγιση συσχέτιση, των S και S' ώστε να μπορούμε να εκφράσουμε όριστικά τη σχέση (35) ή (36) καθορίζοντας τη μεταβλητή u' και συγχρόνως μία σχέση μεταξύ των $u(\varphi)$ και $u'(\varphi)$. Στη συνέχεια θέτουμε για ευκολία και συντόμηση των υπολογισμών τα εξής :

$$(K_i \mu_i^{\alpha-1} \cdot \sigma_i) = x_i \quad (43)$$

$$\alpha_i = \frac{\sigma_i}{\sigma_j} < 1 \quad (j > i \text{ και } \sigma_j > \sigma_i) \quad (43a)$$

$$y_i = \frac{x_i}{x_1} = \frac{K_i \mu_i^{\alpha-1} \cdot \sigma_i}{K_1 \mu_1^{\alpha-1} \cdot \sigma_1} \leq 1 \quad (43b)$$

Εάν $n =$ τὸ πλῆθος τῶν κλάδων ἢ τμημάτων σ' ἓνα φυτό μεταφορᾶς

$$\text{Θέτουμε } f(x) = \sum_{i=1}^{i=n} x_i^2 + 2 \sum_{j>i} x_i x_j a_{ij} \quad (43\gamma)$$

$$F(x) = (x_1 + \dots + x_n)^2 = \left(\sum_{i=1}^{i=n} x_i \right)^2 \quad (43\delta)$$

$$g(y) = \frac{f(x)}{F(x)} \leq 1 \quad (43\epsilon)$$

Εἶναι φανερό τότε ὅτι:

$$\left(\frac{S}{\alpha} \right)^2 = f(x) = \sum (K_i \mu_i^{\alpha-1} \sigma_i)^2 + 2 \sum_{j>i} K_i K_j \mu_i^{\alpha-1} \mu_j^{\alpha-1} \sigma_i^2 \sigma_j^2 \quad (43\sigma\tau)$$

$$\left(\frac{S'}{\alpha} \right)^2 = F(x) = \left(\sum K_i \mu_i^{\alpha-1} \sigma_i \right)^2 \quad (43\zeta)$$

$$\left(\frac{S}{S'} \right)^2 = \frac{f(x)}{F(x)} = g(y) \quad (43\eta)$$

Ἐτσι τὸ τελικὸ μας ἐνδιαφέρον συγκεντρώνεται στὴν εὑρεση τῆς $g(y)$ ἢ τουλάχιστον τὸν καθορισμὸ κάποιας κατώτερης ὀριακῆς τιμῆς, τῆς, ἢ ὁποία συνήθως παρατηρεῖται στὸ πεδίο ἐφαρμογῆς τῶν x_i ἢ τῶν ἀντίστοιχων $y_i = \frac{x_i}{x_1}$.

Πράγματι θὰ ἔχουμε

$$g(y) = \frac{f(x)}{F(x)} = \frac{\sum x_i^2 + 2 \sum_{j>i} x_i x_j a_{ij}}{(\sum x_i)^2} = \frac{\sum y_i^2 + 2 \sum_{j>i} a_{ij} y_i y_j}{(\sum y_i)^2} \quad (44)$$

ὅπου $y_1 = 1$

Ἄν θέσουμε ἔπειτα

$$y = \begin{bmatrix} 1 \\ y_2 \\ \vdots \\ y_n \end{bmatrix} \quad \epsilon = \begin{bmatrix} 1 \\ 1 \\ \vdots \\ 1 \end{bmatrix} \quad (45)$$

$$A_\alpha = \begin{bmatrix} 1 & \alpha_{12} & \alpha_{1n} \\ x_{12} & 1 & x_{2n} \\ \vdots & \vdots & \vdots \\ x_{1n} & x_{2n} & 1 \end{bmatrix}, \quad A_1 = \begin{bmatrix} 1 & 1 & 1 \\ 1 & 1 & 1 \\ \vdots & \vdots & \vdots \\ 1 & 1 & 1 \end{bmatrix} \quad (45\alpha)$$

καὶ ἐπειδὴ $(\sum y_i)^2 = \sum y_i^2 + 2 \sum_{j>i} y_i y_j$ ἡ σχέση (44) ἔχει μορφή

$$g(y) = \frac{f(x)}{F(x)} = \frac{f(y)}{F(y)} = \frac{y \cdot A_\alpha \cdot y^T}{y \cdot A_1 \cdot y^T} < 1 \quad (46)$$

ὅπου οἱ $f(y)$ καὶ $F(y)$ εἶναι τετραγωνικὲς μορφές [4,11] καὶ $y^T =$ ἡ ἀνάστροφος μῆτρα τῆς y (βλ. σχέση 46).

Ἡ πιὸ πάνω σχέση (46) ἐπιτρέπει ἐνδεχομένως τὴ θεωρητικὴ ἀναζήτηση τῶν ὀριακῶν τιμῶν τῆς $g(y)$ γιὰ τὸ πεδίο ἐφαρμογῆς τῶν y_i , καὶ εἶναι δυνατὸ νὰ καθοριστῆ μετὰ κάποια προσέγγιση ὥστε νὰ περιλαμβάνει τὶς περισσότερες τιμὲς τῶν y_i ποὺ συναντιέονται στὶς ἐφαρμογές.

Πάντως ἐδῶ ἡ ἀναζήτηση θὰ γίνῃ τελικὰ σὲ ὁρισμένες χαρακτηριστικὲς ὀριακὲς περιπτώσεις ἀφοῦ πρῶτα γίνονται καὶ ὁρισμένοι χρήσιμοι ἀλγεβρικοὶ μετασχηματισμοὶ τῆς (43ε) καὶ ἔτσι θὰ ἐξάγουμε σχετικὰ συμπεράσματα γιὰ τὴν ἐλάχιστη τιμὴ τῆς $g(y)$. Μετὰ αὐτὸ τὸν τρόπο καὶ μετὰ τὸν ἐλεγχο ποὺ θὰ γίνῃ μετὰ συγκεκριμένα ἀριθμητικὰ παραδείγματα θὰ

δεχθοῦμε στὴ συνέχεια μιὰ κατώτερη ὀριακὴ τιμὴ τῆς $g(y)$ ποὺ συνήθως παρουσιάζεται στὶς ἐφαρμογές. Ἐτσι θὰ ἔχουμε πρακτικὰ καταλήξει στὸ ἐπιθυμητὸ συμπέρασμα καὶ μάλιστα μετὰ ἀρκετὰ περιθώρια ἀσφαλείας, τὰ ὁποῖα θὰ ἐπιδιώξουμε, ὥστε τελικὰ νὰ μὴν εἶναι ἀπόλυτα ἀναγκαῖα ἡ ἀκριβὴς θεωρητικὴ ἀναζήτηση τῆς κατώτερης ὀριακῆς τιμῆς τῆς $g(y)$.

Ἐάν θέσουμε $y = y = \epsilon$ δηλαδὴ $y_i = 1$

$$\text{τότε } (\sum y_i)^2 = n^2 \text{ καὶ } y \cdot A_\alpha \cdot y^T = n + 2 \sum_{j>i} a_{ij}$$

$$\text{καὶ } g(y) = g(\epsilon) = g(1) = \frac{n + 2 \sum a_{ij}}{n^2} \quad (47)$$

Ἐπίσης ἂν θέσουμε $y_2, \dots, y_n = 0$ τότε $g(y) = g(0) = 1$ (48)

Ἀπὸ τὶς σχέσεις (47) καὶ (48) προκύπτει ὅτι

$$g(\epsilon) - g(0) = \frac{2 \sum a_{ij} - (n^2 - n)}{n^2}$$

Ἀπὸ τὶς σχέσεις (44) καὶ (47) θὰ ἔχουμε

$$g(y) - g(1) = \frac{\sum y_i^2 + 2 \sum_{j>i} a_{ij} y_i y_j}{(\sum y_i)^2} - \frac{n + 2 \sum a_{ij}}{n^2} = \frac{\sum y_i^2 + 2 \sum_{j>i} a_{ij} y_i y_j}{(\sum y_i)^2} + \frac{-n^2 + \frac{2n(n-1)}{2} - 2 \sum a_{ij}}{n^2} = \frac{\sum y_i^2 + 2 \sum_{j>i} a_{ij} y_i y_j}{(\sum y_i)^2} - 1 - \left(\frac{2}{n^2} \right) \sum (a_{ij} - 1) \quad (49)$$

Στὴ σχέση (49) τὸ πλῆθος a_{ij} εἶναι $\frac{n(n-1)}{2}$

Ἐπίσης ἡ σχέση (49) γράφεται ἂν θέσουμε $\frac{\sum y_i^2}{(\sum y_i)^2} = 1$ καὶ λάβουμε ὑπόψη ὅτι $(\sum y_i)^2 = \sum_{j>i} y_i^2 + 2 \sum_{j>i} y_i y_j$

$$g(y) - g(1) = \frac{2 \sum_{j>i} y_i (a_{ij} - 1) \cdot y_j}{(\sum y_i)^2} - \frac{2}{n^2} \sum (a_{ij} - 1) \quad (50)$$

Ἐπειδὴ ὁμοίως $y_i \leq 1$ καὶ $(\sum y_i)^2 \leq n^2$

ἡ σχέση (50) γίνεταί $g(y) - g(1) \geq \frac{2}{n^2} \sum_{j>i} (a_{ij} - 1) (y_i y_j - 1)$ (ἰ = 1, ..., n) (51)

Ἀπὸ τὶς σχέσεις (51) καὶ (52) ἔχουμε

$$g(y) - g(1) \geq \frac{2}{n^2} \sum (a_{ij} - 1) (y_i y_j - 1) \quad (52)$$

ἢ ἐπειδὴ $a_{ij} - 1 < 0$ καὶ $y_i y_j - 1 < 0$ θὰ εἶναι

$$g(y) - g(1) \geq \frac{2}{n^2} \sum (1 - a_{ij}) (1 - y_i y_j) \quad (52\alpha)$$

Τέλος ἐπειδὴ $g(y) \leq 1$ καὶ $g(0) = 1$ θὰ ἔχουμε τελικὰ ἂν λάβουμε ὑπόψη καὶ τὴν (52α).

$$1 \geq g(y) \geq g(1) + \frac{2}{n^2} \sum (1 - a_{ij}) (1 - y_i y_j) \quad (53)$$

ὅπου ἡ $g(1) = \frac{n + 2 \sum a_{ij}}{n^2}$ σύμφωνα μετὰ τὴν σχέση (47.)

Ἀπὸ τὴν πιὸ πάνω σχέση (53) μπορούμε νὰ βροῦμε σὲ χαρακτηριστικὲς ὀριακὲς περιπτώσεις ἢ καὶ σὲ διάφορες χαρακτηριστικὲς τιμὲς τοῦ διανύσματος $y (y_1, y_2, \dots, y_n)$ τὶς ἐλάχιστες τιμὲς τῆς $g(y)$. Μετὰ αὐτὸ τὸν τρόπο μπορούμε νὰ βροῦμε γιὰ τὸ συνθησιμένο πεδίο τῶν τιμῶν y ποὺ παρουσιάζεται στὶς ἐφαρμογές τὴν ἀντίστοιχη συνθησιμένη διακύμανση τῆς $g(y)$ καὶ ἐπομένως νὰ καθορίσουμε καὶ μιὰ κατὰ ἱκανοποιητικὴ προσέγγιση κατώτερη ὀριακὴ τιμὴ τῆς.

Στὴ συνέχεια γιὰ τὸ σκοπὸ αὐτὸ ὑποθέτουμε μερικὲς συνθησιμένες ὀριακὲς τιμὲς τόσο τῶν a_{ij} ὅσο καὶ τῶν y_i σὲ συνάρτηση βέβαια μετὰ τὶς ἀποδεκτὲς ὀριακὲς ταχύτητες στὰ δίκτυα

άρδευσης (από τις οποίες εξαρτιούνται τα παραπάνω μεγέθη που είναι συναρτήσεις των διαμέτρων και παροχών).

*Ετσι βρίσκουμε στις πιο κάτω πέντε χαρακτηριστικές περιπτώσεις (α), (β), (γ), (δ), (ε) διάφορες κατώτερες όριακές τιμές της $g(y)$ ενώ στην έκτη (στ) περίπτωση δίνουμε μερικές συνηθισμένες μέσες χαρακτηριστικές τιμές των μεγεθών Q, u, D, y_1 , α_{ij} , κλπ. που συχνά συναντιούνται στα δίκτυα άρδευσης.

α) Για αριθμό $n = 2$ κλάδων

$$g(y) \geq \frac{2 + 2\alpha_{12}}{4} + \frac{2}{4} (1 - \alpha_{12})(1 - y_1 y_2)$$

και επειδή $y_1 = 1,0$ $g(y) \geq \frac{1 + \alpha_{12}}{2} + \frac{1}{2} (1 - \alpha_{12})(1 - y_2)$

(ι) 'Εάν $y_2 = y_1 = 1,0$ τότε το σ_1 θα διαφέρει ελάχιστα του σ_2 δηλαδή $\alpha_{12} \approx 1,0$ ή έστω $\alpha_{12} \approx 0,90$ ή $0,95$, τότε $g(y) \geq 0,95$ ή $0,975$

(ii) 'Εάν το $y_1 < y_2$, δηλαδή $\sigma_1 < \sigma_2$ τότε το α_{12} θα είναι πολύ μικρό, π.χ. σε μία όριακή περίπτωση που μπορεί συνήθως να εμφανιστεί σε εφαρμογές είναι $\alpha_{12} \approx 0,10$.

Βρίσκουμε τότε ότι $y_2 = \frac{K_2 \mu_2 \sigma_2}{K_1 \mu_1 \sigma_1} \left(\frac{K_2 \mu_2^{\alpha-1} \sigma_2}{K_1 \mu_1^{\alpha-1} \sigma_1} \right)$ όποτε για

$$\alpha = 2,0 \quad y_2 = \frac{K_2 \mu_2 \sigma_2}{K_1 \mu_1 \sigma_1} = \frac{K_2 (100 \mu_1) (10 \sigma_1)}{K_1 \mu_1 \sigma_1} = 1000 \frac{K_2}{K_1} =$$

$$= 1000 \frac{I_2}{I_1} \left(\frac{D_1}{D_2} \right)^{16/3} < 1000 \left(\frac{D_1}{D_2} \right)^{16/3} <$$

$$< \text{συνήθως } (1000) \times (1,0 \times 10^{-4}) = 0,10$$

Αυτό συμβαίνει γιατί συνήθως πάντοτε $I_2 < I_1$ (I_1 = το μήκος του άγωγού τελευταίας τάξεως) και για την περίπτωση αυτή είναι $D_1/D_2 < 0,178$ δηλαδή

$$(D_1/D_2)^{16/3} < 1,0 \times 10^{-4} \quad (\text{βλ. σχετ. διάγρ. 5.1})$$

'Επομένως με τις τιμές αυτές θα είναι

$$g(y) > \frac{1 + 0,10}{2} + \frac{1}{2} (1 - 0,10)(1 - 0,10) = 0,955$$

(iii) Για μία ενδιάμεση τιμή, π.χ. $\alpha_{12} = 0,707$ $g(y) > \frac{1 + 0,707}{2} = 0,853$

δταν $y_2 = y_1$ ενώ αν $y_2 < y_1$, π.χ. $y_2 = 0,8$ τότε η $g(y)$ είναι ακόμα μεγαλύτερη, π.χ. $g(y) = 0,882$

β) Για αριθμό $n = 3$ κλάδων

$$g(y) \geq \frac{3 + 2(\alpha_{12} + \alpha_{13} + \alpha_{23})}{9} + \left(\frac{3}{9} \right) \cdot$$

$$\cdot [(1 - \alpha_{12})(1 - y_3) + (1 - \alpha_{13})(1 - y_3) + (1 - \alpha_{23})(1 - y_3 y_0)]$$

Εύκολα βρίσκουμε ότι

(i) Για $\alpha_{12} \approx \alpha_{13} \approx 0,10$ όποτε $\alpha_{23} \approx 0,95$ και αν θεωρήσουμε ότι τουλάχιστο $y_2, y_3 < 0,50$ προκύπτει ότι $g(y) > 0,818$

(ii) 'Αν υποθέσουμε μετά ότι τα $\alpha_{12}, \alpha_{13}, \alpha_{23}$ είναι τα μεγαλύτερα δυνατά δηλαδή, π.χ. $\alpha_{12} = 0,707, \alpha_{13} = 0,58$ και $\alpha_{23} = 0,82$ και ότι γενικά τα y_2 είναι κοντά στη μονάδα, δηλαδή, π.χ. $y_1, y_2 = 0,95$ και $y_3 = 0,90$, που είναι όπωσδήποτε μια δυσμενής παραδοχή, καταλήγουμε

$$g(y) > 0,811$$

γ) 'Εκτός από τις πιο πάνω περιπτώσεις $n = 2$ και 3 κλάδων λαμβάνουμε για εξέταση και μια περίπτωση με περισσότερους κλάδους, π.χ. $n = 10$ όπου εξετάζουμε μάλιστα τις εξής υποπεριπτώσεις:

(i) 'Αν θεωρήσουμε σαν όριακή περίπτωση το $\alpha_{1,2}, \alpha_{1,3}, \dots, \alpha_{1,10} = 0,10$ δηλαδή πολύ μικρά τότε όλα τα υπόλοιπα $\alpha_{i,j} > 0,95$ θα είναι κοντά στη μονάδα.

Σ' αυτή την περίπτωση λοιπόν αν τελικά δεχθούμε $\alpha_{1,j} = 0,10$ και $\alpha_{ij} = 0,95$ ($i \neq 1$) και επί πλέον δώσουμε συντηρητικές τιμές στα $y_2, \dots, y_{10} = 0,50$ καταλήγουμε σε μία τιμή της $g(y) > 0,91$

(ii) Μία άλλη περίπτωση θα είναι να δεχθούμε τις εξής τιμές για τα $\alpha_{ij} = 1/(j)^{1/2}$:

Δηλαδή $\alpha_{1,2} = 0,707, \alpha_{1,3} = 0,577, \alpha_{1,4} = 0,500, \alpha_{1,5} = 0,447$
 $\alpha_{1,6} = 0,408, \alpha_{1,7} = 0,378, \alpha_{1,8} = 0,354, \alpha_{1,9} = 0,333,$
 $\alpha_{1,10} = 0,316$ όποτε προσδιορίζονται τα υπόλοιπα $\alpha_{i,j} = (i/j)^{1/2}$

Βρίσκουμε τότε για την

$$g(y) > \frac{10 + 2\sum \alpha_{ij}}{100} + \frac{2}{100} [\sum (1 - \alpha_{ij})(1 - y_i y_j)]$$

αν λάβουμε υπόψη ότι $\sum \alpha_{ij} = 30,742$ και ότι μόνο με τον πρώτο όρο της πιο πάνω σχέσεως έχουμε $g(y) > 0,715$, αν δε δεχθούμε έστω και μερικά από τα $y \neq 1$, π.χ. $y_6, \dots, y_{10} = 0,70$ (ενώ $y_2, \dots, y_5 = 1,0$ πράγμα που είναι δυσμενές) θα έχουμε $g(y) > 0,75$.

δ) Στις παραπάνω ειδικές όριακές, όπως θα μπορούσαμε να πούμε κατά ένα τρόπο, περιπτώσεις μέσα στις οποίες κινούνται συνήθως τα μεγέθη α_{ij} και y_i , στις εφαρμογές για δίκτυα που έχουν περίπου μέχρι 10 κλάδους τελευταίας ή και ανωτέρας τάξεως, η εξέταση που έγινε έδειξε ότι γενικά $g(y) > 0,75$ περίπου και μάλιστα για ένα ευρύ πεδίο τιμών, π.χ. $0,10 \leq \alpha_{ij} \leq 0,95$ και y_i με αντίστοιχες τιμές αλλά που πάραυτα πολύ δυσμενείς.

Γενικότερα μάλιστα θα μπορούσαμε να επεκτείνουμε τις παραπάνω σχέσεις μας κατά κάποιο επαγωγικό τρόπο δηλαδή αντί για $n = 10$ κλάδους να θεωρήσουμε περισσότερους, έτσι:

(i) Π.χ. για n κλάδους όταν $\alpha_{i,j} \approx 0,10$ και τα υπόλοιπα

$$\alpha_{ij} = 0,95 \quad \text{τότε } g(y) = \frac{n + 0,10n + 0,95(n^2 - 2n)}{n^2} =$$

$$= 0,95 - \frac{0,80}{n} \quad \text{που για } n > 10 \text{ προκύπτει } g(y) > 0,87$$

(ii) 'Όμοια όπως και προηγούμενα, στην περίπτωση $n = 10$, αν δεχθούμε τις μέγιστες τιμές των $\alpha_{i,j} = (i/j)^{1/2}$ μπορούμε να εξετάσουμε ένα μεγαλύτερο πλήθος π.χ. $n = 50$, δεχόμενοι αντίστοιχες τιμές των y_i δυσμενείς, π.χ. για την πρώτη δεκάδα των $y_i = y_2, \dots, y_{10} = 0,80$ έως $1,00$, για τη δεύτερη δεκάδα των $y_i = y_{11}, \dots, y_{20} \leq 0,70$, για την τρίτη $0,40$ έως $0,50$ κ.ο.κ. όποτε θα βρούμε για τη $g(y) > 0,75$.

Γενικότερα παρατηρούμε ότι στις πιο κάτω περιπτώσεις εξέτασαμε γραμμές μεταφορής που εξυπηρετούν κλάδους σχετικά ομοιομορφους όπως και στο παράδειγμα 5.1 στο οποίο μάλιστα βρίσκουμε ότι η $g(y) \geq 0,81$.

ε) Παρατηρούμε όμως ότι οι τιμές $g(y)$ μπορούν σε ειδικές περιπτώσεις, όπως, π.χ. στο παράδειγμα 5.2 να κατεβούν και σε χαμηλότερα από τα κατώτερα όρια που προσδιορίζονται πιο πάνω, αλλά στην περίπτωση αυτή η τιμή του όρου $\alpha \cdot u' S'$ σε σχέση με το συνολικό h μικραίνει ώστε τελικά η ποσοστιαία συμμετοχή αυτού (δηλαδή ο όρος $\frac{\alpha \cdot u' S'}{h}$) να μην αυξάνει.

Σχετικά, μάλιστα, αναφερόμαστε πιο κάτω εκτενέστερα τόσο στην εξέταση του όρου $\lambda = \frac{\alpha \cdot u' S'}{h}$ και τη διακύμανσή του ανάλογα με το πλήθος των στομίων R το συντελεστή C_v μεταβολής της παροχής και την τιμή της $u_{(p)}$, όσο και στις συγκεκριμένες τιμές της $g(y)$ στο αριθμητικό παράδειγμα 5.2 όπου τελικά παρά το γεγονός ότι η $g(y) = 0,593$ επειδή το λ μικραίνει σημαντικά, η αύξηση του h παραμένει μέσα στα περιθώρια που καθορίζουμε πιο κάτω.

στ) Θα δώσουμε στη συνέχεια μερικές συνηθισμένες τιμές παροχών, διαμέτρων κλπ. που απαντιούνται στα άρδευτικά δίκτυα ανάλογα με το πλήθος των στομίων υδροληψίας που εξυπηρετούν (Διάγραμμα Δ.5.1). 'Από αυτές θα εκτιμήσουμε τις αντίστοιχες μέσες τιμές των μεγεθών y_i και $\alpha_{i,i} = \sigma_1/\sigma_i$ ώστε να αποκτήσουμε μια αντίληψη του μεγέθους των y_i και $\alpha_{i,i}$.

Θεωρώντας έτσι έναν άγωγό μεταφορής που τροφοδοτεί εκατό κλάδους τελευταίας τάξεως που ο καθένας πάλι εξυπηρετεί 10 στόμια και δίδοντας τιμές από $P = \frac{1}{3}$ έως $P = 2/3$ βρίσκουμε αν δεχτούμε ειδική παροχή άρδευσης για 18ωρο λειτουργία δικτύου $0,082/\lambda/8\lambda/\sigma \text{ στρεμ.}$, ότι η παροχή q_0 κάθε

στομίου για επιφάνεια άγροτεμαχίου 25 στρεμ. θα κυμαίνεται από $q_0 = 3,08$ έως $6,15 \text{ λ/δλ}$ και αντίστοιχα για 45 στρεμ. από $q_0 = 5,54$ έως $11,07 \text{ λ/δλ}$.

Αντίστοιχα η διακύμανση της παροχής για ένα κλάδο τελευταίας τάξεως με $R = 10$ στόμια και ποιότητες λειτουργίας, π.χ. $\varphi = 0,90 - 0,95 - 0,99$ μπορεί να υπολογιστεί εύκολα με τις σχέσεις (3) και (4) του κεφαλ. 1 εφαρμόζοντας σαν άκραιοι όριακές τιμές, τις πιο πάνω τιμές της q_0 . Βρίσκουμε έτσι τα διαστήματα μέσα στα οποία βρίσκεται συνήθως η τιμή της παροχής σε συνάρτηση με το πλήθος των στομίων R. Μετά εκτιμάμε την αντίστοιχη διακύμανση της διαμέτρου, με όριακές ταχύτητες αυτές που αναφέρονται στο κεφάλαιο 7 και τέλος δεχόμεστε μέσες τιμές για τη διάμετρο D_1 , οι οποίες είναι τελείως ένδεικτικές και απλώς εκφράζουν κατά προσέγγιση μια τάξη μεγέθους διαμέτρου που μπορεί να πούμε ότι είναι και ένας κατά κάποιον τρόπο μέσος στατιστικός όρος των μεγεθών D_1 που παρουσιάζονται σε εφαρμογές. Στη συνέχεια με τις διαμέτρους αυτές, σε βάση εκτιμούμε τις τιμές y_j ($j = 2, \dots, i$) και $\alpha_{1,j}$ από τις σχέσεις:

$$y_j = \frac{K_j \mu_j \sigma_j}{K_1 \mu_1 \sigma_1} = \left(\frac{R_j}{R_1} \right)^{3/2} \cdot \left(\frac{K_j}{K_1} \right) = \left(\frac{R_j}{R_1} \right)^{3/2} \cdot \left(\frac{D_1}{D_j} \right)^{16/3} \quad j = 2, \dots, i$$

και $\alpha_{1,i} = \frac{\sigma_1}{\sigma_i} \cdot R_1 = 10$ στόμια

$\mu = R \cdot p \cdot q_0$ και $\sigma = [R \cdot p \cdot (1-p)]^{1/2} \cdot q_0$

Τα αποτελέσματα που βγήκαν με κάποιες προσεγγίσεις εμφανίζονται στο διάγραμμα Δ5.1.

Βλέπουμε απ' το διάγραμμα αυτό ότι οι τιμές που χρησιμοποιήθηκαν πιο πάνω στις ειδικές περιπτώσεις (α) έως (δ) για τα y και $\alpha_{1,j}$, ώστε να υπολογιστεί μια λογικά κατώτερη τιμή της συναρτήσεως $g(y)$ βρίσκονται μέσα σε πιθανά όρια, ίσως αν για λόγους δυσμενέστερους πάρθηκαν σε όρισμένες περιπτώσεις σχετικά συντηρητικά.

Οι τιμές των y και $\alpha_{1,j}$ του διαγράμματος Δ5.1 καλύπτουν κατά προσέγγιση εκτάσεις που φθάνουν περίπου μέχρι 45.000 στρέμματα. Τέτοιες εκτάσεις δεν παρατηρούνται εύκολα σε μια μόνο ενιαία ζώνη άρδευσης και πολύ περισσότερο σε μια μόνο γραμμή μεταφοράς. Πράγματι στις συνηθισμένες περιπτώσεις των άρδευτικών δικτύων οι γραμμές μεταφοράς μπορεί να θεωρηθεί ότι οι περισσότερες θα εξυπηρετούν μέχρι 100 στόμια και μερικές μέχρι 400 ή 500 το πολύ.

Τέλος απ' το διάγραμμα Δ5.1 βλέπουμε τη μεγάλη μείωση των τιμών y_i με την αύξηση του αριθμού των στομίων που δείχνουν ότι η συνάρτηση $g(y)$ πράγματι διατηρείται σε σχετικά ύψηλες τιμές.

5.2. Συμπεράσματα από τις πιο πάνω διερευνήσεις και αναζητήσεις για την u'

Μπορούμε τελικά μετά από όλες τις πιο πάνω εξετάσεις που έγιναν για να εκτιμηθεί μια κατώτερη όριακή τιμή της $g(y)$ που συνήθως παρουσιάζεται στις εφαρμογές, και στη συνέχεια μια κατάλληλη τιμή της $u' = u \cdot \frac{S}{S'} = u [g(y)]^{1/2}$ να δεχθούμε ότι:

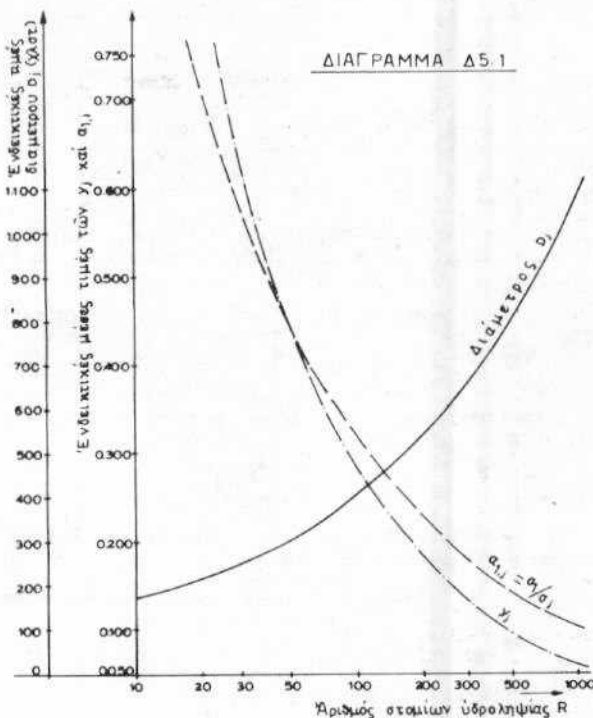
$g(y) > 0,64$ έως $0,70$ περίπου

ή επειδή $g(y) = \frac{f(x)}{F(x)} = \left(\frac{S}{S'} \right)^2$ θα είναι

$\frac{S}{S'} = [g(y)]^{1/2} > 0,80$ έως $0,84$ περίπου

Στις εξισώσεις όμως (35) ή (36) θα είναι για κάθε κλάδο i το ποσοστό συμμετοχής του δεύτερου όρου $\alpha \cdot u' \cdot S'$ ή $2u' \cdot S'$ σε σχέση προς το σύνολο της απώλειας φορτίου ίσο προς

$$\lambda = \frac{\alpha \cdot u'(\varphi) \cdot \mu_1^{\alpha-1} \cdot \sigma_1}{\mu_1^{\alpha} + \frac{\alpha(\alpha-1)}{2} \mu_1^{\alpha-2} \sigma_1^2 + \alpha \cdot u'(\varphi) \cdot \mu_1^{\alpha-1} \cdot \sigma_1} =$$



$$= \frac{\alpha \cdot u(\varphi) \cdot C_{vi}}{1 + \frac{\alpha(\alpha-1)}{2} C_{vi}^2 + \alpha u(\varphi) C_{vi}} \quad (54)$$

ή για $\alpha = 2,0$

$$\lambda = \frac{2u(\varphi) C_{vi}}{1 + C_{vi}^2 + 2u(\varphi) C_{vi}} \quad (55)$$

Η σχέση (61) αν λάβουμε υπόψη ότι $C_{vi} = \left(\frac{1-p}{R \cdot p} \right)^{1/2}$ και θεωρήσουμε ότι το ελάχιστο $R_1 = 10$ στόμια θα δώσει τις εξής τιμές στο λ για $u(\varphi) = 1,28, 1,65$ και $2,33$ ($p = \frac{1}{3}$ έως $2/3$)

			Για $u = 1,28$	$= 1,65$	$= 2,33$
$P = 1/3$	$R = 10$	$C_{vi} = 0,447$	0,488	0,550	0,580
	$R = 20$	$C_{vi} = 0,316$	0,424	0,487	0,515
$P = 2/3$	$R = 10$	$C_{vi} = 0,224$	0,353	0,413	0,498
	$R = 20$	$C_{vi} = 0,158$	0,283	0,337	0,418
	$R = 30$	$C_{vi} = 0,129$	0,245	0,295	0,371

Από τις πιο πάνω τιμές του λ βγαίνει το συμπέρασμα για τις συνηθισμένες περιπτώσεις $\varphi \leq 0,95$ και $R > 10$ ότι $\lambda \leq 0,50$. Βέβαια σε άκραιοι περιπτώσεις όπου $R \leq 10$ και $C_{vi} \geq 0,45$ το λ μπορεί να πάρει και μεγαλύτερες τιμές. Αυτό όμως αν συμβεί θα είναι τελείως περιορισμένο σε κάποια ειδική γραμμή μεταφοράς ενός δικτύου.

Με την ευκαιρία μάλιστα δίδουμε και το συντελεστή μεταβολής απώλειας φορτίου $C_{vh} = \frac{2\mu_1 \sigma_1}{\mu_1^2 + \sigma_1^2} = \frac{2^2 C_{vi}}{1 + C_{vi}^2}$ όπου

πάρθηκε $\alpha = 2,0$ και C_{vi} είναι ο συντελεστής μεταβολής των παροχών. Για $C_{vi} = 0,45$ έχουμε $C_{vh} = 0,75$ που είναι συνήθως και μια μέγιστη τιμή.

Επανερχόμενοι μετά από όλα τα πιο πάνω στο θέμα της απώλειας φορτίου h που προκύπτει από την εξίσωση (35) ή (36) βλέπουμε ότι αυτή θα είναι αξιωματική το πολύ κατά 8 έως 10% από την απώλεια h που εξάγεται με την εφαρμογή των εξισώσεων (30) ή (31). Μάλιστα αν λάβουμε υπόψη ότι ήδη έχουμε παραλείψει δυο όρους από τις εξισώσεις (28) ή (29) που αντιπροσωπεύουν και αυτοί έστω και ένα μικρό ποσοστό

(π.χ. 1,0%) της απώλειας ή τότε πραγματικά ή αύξηση 8 έως 10% θα είναι η μέγιστη δυνατή που θα παρατηρείται στην ή όταν εφαρμοσθούν οι εξισώσεις (35) ή (36).

Ακόμη μάλιστα και σε ειδικές περιπτώσεις όπου $h < 0,64$ ή $g(y)^{1/2} < 0,80$, επειδή τότε μειώνεται ο όρος $\alpha u' S'$ σε σχέση προς το συνολικό h , πάλι η αύξηση του h δε θα περνάει το ποσοστό 9 έως 10% που εκτιμήθηκε πιο πάνω. Σχετικά αριθμητικά δεδομένα μπορεί να δει κανείς στο παράδειγμα 5.2 που ακολουθεί.

Η πιο πάνω ποσοστιαία αύξηση του h (3 έως 10%) είναι φανερό ότι αντιστοιχεί σε αύξηση της αντίστοιχης παροχής σχεδιασμού που είναι περίπου 3%.

Οι τιμές της h που εφαρμόζονται στις σχέσεις (30) ή (31) κυμαίνονται μέσα σε σχετικά περιορισμένα διαστήματα τα όποια είναι περισσότερο περιορισμένα όσο χαμηλότερη είναι η στάθμη πιθανότητας ϕ .

Για την τυχαία μεταβλητή u έχουν προταθεί (15) οι εξής τιμές:

$$\begin{aligned} \text{Για } \phi = 0,90 & & u = 1,33 \\ \text{Για } \phi = 0,95 & & u = 1,85 \end{aligned}$$

Πάντως μια εξομοίωση [15] σε μια γραμμή μεταφοράς με δέκα κλάδους έδωσε για $\phi = 0,95$ τιμές της $u = 1,70$. Τελικά η τιμή της u' είναι $u' = u \cdot \frac{S}{S'}$, όπως προκύπτει από τη σχέση (34). Αλλά υπολογίσθηκε ότι μπορούμε να δεχθούμε ότι σχεδόν πάντοτε στις εφαρμογές θα είναι 0,80 έως 0,84 $\frac{S}{S'} < 1,0$ πράγμα που σημαίνει ότι $u' < u$.

Έτσι προτείνεται η μείωση της τιμής u (που η τιμή της όπως είδαμε πιο πάνω κυμαίνεται σε διαστήματα στα όποια το κατώτερο όριο συμπίπτει με την τιμή της ϵ) κατά μέσο ποσοστό 8 έως 10%, ώστε να προσεγγίσουμε στις τιμές της u' , η όποια πρακτικώς τότε μπορεί να θεωρηθεί ότι συμπίπτει σχεδόν με την τυποποιημένη τυχαία μεταβλητή της κανονικής κατανομής, δηλαδή την ϵ .

Μάλιστα κάνοντας δεκτό ότι $u' = \epsilon$, ενδεχόμενα κάνουμε κάποια μικρή υπερεκτίμηση ή υποτίμηση του h , αυτή όμως είναι πολύ μικρή αν λάβουμε υπόψη ότι ο όρος $\alpha u' S'$ σε σχέση με το συνολικό h είναι πάντοτε μικρότερος του 0,50h και πρακτικώς τις περισσότερες φορές πέφτει συνήθως κάτω από την τιμή 0,33h.

Αυτό πάντως επαληθεύεται και στα παραδείγματα που ακολουθούν (παραδ. 5.1 και 5.2) στο τέλος του κεφαλαίου.

Καταλήγουμε έτσι να προτείνουμε τις εξής τιμές για την τυποποιημένη τιμή της απώλειας φορτίου u' .

$$\begin{aligned} \text{Για } \phi = 0,90 & & u' = 1,28 \\ \text{» } \phi = 0,95 & & u' = 1,65 \quad \text{Δηλαδή γενικά } u' = \epsilon \\ \text{» } \phi = 0,99 & & u' = 2,33 \dots \text{ (και μερικές φορές ίσως} \\ & & \text{μέχρι 2,40)} \end{aligned}$$

όπου $\epsilon =$ τυποποιημένη τυχαία μεταβλητή κανονικής κατανομής.

5.3. Όριστική έκφραση των εξισώσεων απώλειας φορτίου.

Έτσι οι όριστικές εξισώσεις που εκφράζουν την απώλεια φορτίου δηλαδή οι εξισώσεις (35) και (36) γράφονται με την πιο πάνω κάτω μορφή:

$$h = (H_{\Delta} - H_0) = \Sigma h_i = \Sigma K_i \left[\mu_i^{\alpha} + \frac{\alpha(\alpha-1)}{2} \mu_i^{\alpha-2} \sigma_i^2 + \alpha \cdot \epsilon \cdot \mu_i^{\alpha-1} \sigma_i \right] \quad (56)$$

και για $\alpha = 2,0$

$$h = \Sigma K_i [\mu_i^2 + \sigma_i^2 + 2 \cdot \epsilon \cdot \mu_i \sigma_i] \quad (57)$$

Στη συνέχεια αν ονομάσουμε

$$\mu_i^{\alpha} \left[1 + \frac{\alpha(\alpha-1)}{2} \frac{\sigma_i^2}{\mu_i^2} + \alpha \cdot \epsilon \cdot \frac{\sigma_i}{\mu_i} \right]^{1/\alpha} = Q_i \quad (58)$$

ή για $\alpha = 2,0$

$$[\mu_i^2 + \sigma_i^2 + 2\epsilon\mu_i\sigma_i]^{1/2} = Q_i \quad (59)$$

Οι εξισώσεις (56) και (57) αν λάβουμε υπόψη και τις (58), (59) γίνονται:

$$h = \Sigma K_i Q_i^{\alpha} \quad (60)$$

$$(i = 1, \dots, n)$$

$$\text{ή για } \alpha = 2,0 \quad h = \Sigma K_i Q_i^2 \quad (61)$$

$$(i = 1, \dots, n)$$

Στις πιο πάνω εξισώσεις υπενθυμίζουμε ότι:

$\epsilon =$ τυποποιημένη τυχαία μεταβλητή κανονικής κατανομής
 $\alpha = 1,76$ περίπου έως 2,00

$\mu_i, \sigma_i =$ μέση τιμή και τυπική απόκλιση της παροχής στον κλάδο i , που υπολογίζονται εφαρμόζοντας τις σχέσεις (3) και (4)

5.4. Οι «Ιδεατές παροχές» σχεδιασμού

Πιο πάνω στις σχέσεις (58) και (59) ονομάσαμε με Q_i μια ποσότητα με διαστάσεις παροχής.

Το μέγεθος αυτό από δω και πέρα θα το ονομάζουμε «ιδεατή παροχή» του κλάδου i ή του τμήματος του άγωγού μεταφοράς.

Είναι φανερό ότι αν θεωρήσουμε τις πιο πάνω «ιδεατές παροχές» σαν παροχές σχεδιασμού, θα ισχύουν οι εξισώσεις (56) ή (57) και κατά συνέπεια θα καλύπτονται οι απαιτήσεις για τη διατήρηση μιας ελάχιστης ποιότητας λειτουργίας ϕ σε κάθε γραμμή μεταφοράς. Σχετικά παρατηρούμε ότι οι ιδεατές παροχές δεν εκπληρώνουν το νόμο της συνεχείας και επομένως το άλγεβρικό τους άθροισμα σε κάθε κόμβο (όπου θεωρείται θετική ή προσερχόμενη παροχή και αρνητική ή απερχόμενη) δε θα είναι μηδέν.

Έδω κάνουμε μια διευκρίνιση σχετικά με τον άγωγό τελευταίας τάξεως που ανήκει σε μια εξετζόμενη γραμμή μεταφοράς, και εξυπηρετεί λιγότερο από 10 ή 12 στόμια υδροληψίας. Στην περίπτωση αυτή οι ιδεατές παροχές Q_i για το σχεδιασμό του άγωγού τελευταίας τάξεως προκύπτουν από την άθροιση των παροχών που δίνουν τα θεωρούμενα στον κλάδο άνοιχτα στόμια, τα όποια καθορίζονται με σχετικές οδηγίες του κεφαλαίου 6.

Έπανερχόμενοι στις τιμές που δίνουν οι σχέσεις (58) και (59) είναι εύκολο να διαπιστώσουμε ότι αυτές βρίσκονται πολύ κοντά και έτσι για τον υπολογισμό της «ιδεατής παροχής» θα είναι δυνατό να χρησιμοποιούμε πάντοτε τη σχέση (58).

Τη σχετική απόδειξη την παραλείπουμε για εξοικονόμηση χώρου αλλά αυτή είναι εύκολη αν λάβουμε υπόψη $\alpha = 1,76 \div 2,00$ και $C_v = 0,45$.

Τη σύμπτωση σχεδόν των παροχών που δίνουν οι σχέσεις (58) και (59) μπορούμε να τη δούμε και στα αριθμητικά αποτελέσματα του παραδείγματος του κεφαλαίου 7, όπου μάλιστα παρατίθενται και οι τιμές $Q_i = \mu_i + \sigma_i$ που δίνει η σχέση (2) του R. Clement ώστε να καταφανεί η μεγάλη προσέγγιση που πραγματοποιείται στις Q_i της σχέσεως (2) και της (59) όσο αυξάνει ο αριθμός των στομίων R που εξυπηρετούνται από τον κλάδο i και επομένως μικραίνει η τιμή του συντελεστού C_v .

Έτσι τελικά ως «ιδεατή παροχή» σχεδιασμού λαμβάνεται η

$$Q_i = (\mu_i^2 + \sigma_i^2 + 2\epsilon\mu_i\sigma_i)^{1/2} \quad \text{ή } Q_i = \mu_i (1 + C_{vi} + 2\epsilon C_{vi})^{1/2} \quad (62)$$

όπου $C_{vi} =$ ο συντελεστής μεταβολής των παροχών στον κλάδο i .

Επειδή το C_{vi}^2 είναι πολύ μικρό σε σύγκριση με την όλη Q_i ιδίως όταν ο κλάδος εξυπηρετεί αρκετά στόμια μπορούμε να θέσουμε $Q_i \approx \mu_i (1 + 2\epsilon C_{vi})$ (63)

Αυτό είναι μάλλον σκόπιμο τις περισσότερες φορές στις εφαρμογές γιατί όπως είπαμε ήδη οι ιδεατές παροχές της σχέ-

σεως (62) δίδουν ένα μικρό ποσοστό αυξημένης απώλειας φορτίου.

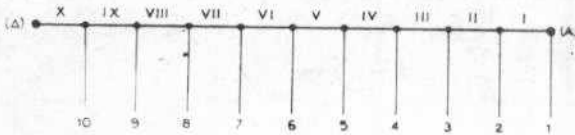
Καταλήγουμε στο έξης συμπέρασμα μετά από όλη την πιο πάνω έπεξεργασία του προβλήματος.

Για να σχεδιάσουμε ένα υπό πίεση άκτινωτό δίκτυο άρδευσεως εξασφαλίζοντας σ' αυτό όμοιομορφα μια επιθυμητή ποιότητα λειτουργίας φ, θα πρέπει να υπολογίσουμε τις απώλειές του κατά μήκος όλων των γραμμών μεταφοράς με ιδεατές παροχές, που υπολογίζονται από τις πιο πάνω σχέσεις (62) και (63). Τελικά βλέπουμε ότι οι εξισώσεις (60) ή (62) δηλ. $h = \Sigma K_i Q_i^2$ ή $\Sigma K_i Q_i^2$ και οι εξισώσεις (62) ή (63) προσδιορίζουν άκριβώς έκείνες τις απώλειες φορτίου που αντιστοιχούν σε μια ποιότητα λειτουργίας φ του δικτύου. Έτσι επιλύεται άπλά και γρήγορα το πρόβλημα που ύπρχε μέχρι σήμερα για το σωστό σχεδιασμό ενός υπό πίεση άρδευτικού δικτύου. Παρατηρούμε πάντως, ότι για τον άγωγο τελευταίας τάξεως οι ιδεατές παροχές όταν τα στόμια R=10 ή 12 θα υπολογίζονται με τις όδηγίες του κεφαλαίου 6.

Στη συνέχεια και πριν κλείσουμε τούτο το κεφάλαιο για να δούμε τα άποτελέσματα που προκύπτουν από την έφαρμογή των εξισώσεων (60) ή (61) και (62) ή (63), δίδουμε το παράδειγμα 5.1 στο όποιο εξάγουμε σχετικά άποτελέσματα και τα συγκρίνουμε με τα άποτελέσματα που προέκυψαν από σχετική έξομοίωση (15) του άγωγού του ίδιου παραδείγματος. Βλέπουμε πάντως ότι τα άποτελέσματα που προκύπτουν από τα παραδείγματα 5.1 και 5.2 είναι πάρα πολύ ίκανοποιητικά και δικαιολογούν άπόλυτα τις γενόμενες παραδοχές και προσεγγίσεις.

Παράδειγμα 5.1.

Για το δίκτυο (γραμμή μεταφοράς Δ-Α) του σχήματος 5.1 που άποτελείται από ένα άγωγο με δέκα τμήματα I, II, ..., X και έξυπηρετεί δέκα άγωγούς τελευταίας τάξεως δίδονται τα πιο κάτω στοιχεία :



$\Sigma X = 5.1$

Βαθμός έλευθερίας B = 2,60

$P = \frac{1}{B} = 0,385$

Για τους άγωγούς τελευταίας τάξεως 1,3,6,7 και 9 : $q_0 = 13 \lambda/\delta\lambda, \mu = 50 \lambda/\delta\lambda, \sigma = 20 \lambda/\delta\lambda$

Για τους άγωγούς τελευταίας τάξεως 2,4,5,8 και 10 : $q_0 = 7,80 \lambda/\delta\lambda, \mu = 30 \lambda/\delta\lambda, \sigma = 12 \lambda/\delta\lambda$

"Αρα για τις τιμές των μ και σ σε λ/δλ των τμημάτων I....X θα έχουμε :

- $\mu_1 = 50, \mu_2 = 80, \mu_3 = 130, \mu_4 = 160, \mu_5 = 190, \mu_6 = 240$
- $\mu_7 = 290, \mu_8 = 320, \mu_9 = 370, \mu_{10} = 400$
- $\sigma_1 = 20, \sigma_2 = 23,32, \sigma_3 = 30,72, \sigma_4 = 32,98, \sigma_5 = 35,10$
- $\sigma_6 = 40,40, \sigma_7 = 45,08, \sigma_8 = 46,65, \sigma_9 = 50,75, \sigma_{10} = 52,15$

Στη συνέχεια βρίσκουμε τις τιμές των ιδεατών παροχών σε λ/δλ για τα τμήματα I, ..., X με την έφαρμογή της σχέσεως (62)

$Q_i = [\mu_i^2 + \sigma_i^2 + 2\epsilon\mu_i\sigma_i]$ για $\phi = 0,95$ δηλαδή με $\epsilon = 1,65$ όποτε :

$Q_1 = 78,74, Q_2 = 114,46, Q_3 = 176,13, Q_4 = 210,00, Q_5 = 243,60$
 $Q_6 = 302,04, Q_7 = 359,55, Q_8 = 392,22, Q_9 = 448,82, Q_{10} = 484,20$

Υποθέτοντας ότι $h = \Sigma K_i Q_i^2$ και λαμβάνοντας ύπόψη τις έξης τιμές για τις διαμέτρους D σε χλστ. τα μήκη L σε μέτρα και κατά συνέπεια του K (σε $\delta\lambda^2 \cdot \mu^{-5}$ με τιμή n=0,0115).

Τμήμα	I	II	III	IV	V	VI	VII	VIII	IX	X
D	250	300	350	400	450	500	500	600	600	600
L	180	180	180	220	300	300	180	360	300	240
K	400,0	151,0	64,0	39,0	29,0	16,2	9,8	7,4	6,2	4,9

Καταλήγουμε σε συνολική απώλεια $h = 16,15$ μετρ. ($\phi = 0,95$)

Χρησιμοποιώντας την προσεγγιστική έκφραση της σχέσεως (62) $Q_i = (\mu_i + 2\epsilon\mu_i\sigma_i)^{1/2}$ προκύπτει για την ίδια πιο πάνω γραμμή μεταφοράς (Δ-Α) $h = 15,63$ μετρ.

Με τα ίδια πιο πάνω δεδομένα αλλά με $\phi = 0,90$ προκύπτει για $\epsilon = 1,28, h = 14,71$ ενώ για $\phi = 0,99, \epsilon = 2,33$ και $h = 18,80$

Η έξομοίωση της λειτουργίας του ίδιου άγωγού (γραμμής μεταφοράς) (Δ-Α) του σχήματος 5.1 έδωσε τις έξης τιμές (15), που σημειώνουμε άμέσως παρακάτω, τοποθετώντας για σύγκριση και τις τιμές που βρήκαμε με την έφαρμογή των σχέσεων (60) και (62) $\phi = 0,90$ με έξομοίωση $h = 14,10 \mu.$, ενώ με την έφαρμογή ιδεατών παροχών $h = 14,71$. Επίσης για $\phi = 0,95$ με έξομοίωση $h = 15,40 \mu.$ ενώ με την έφαρμογή ιδεατών παροχών $h = 16,15$ (ή 15,83). Τέλος για $\phi = 0,99$ με έξομοίωση $h = 18,90 \mu.$, ενώ με την έφαρμογή ιδεατών παροχών $h = 18,80$

Βλέπουμε έτσι πράγματι μια πάρα πολύ ίκανοποιητική προσέγγιση των άποτελεσμάτων της έξομοιώσεως με τα άποτελέσματα που δίνει η μέθοδος έφαρμογής «ιδεατών παροχών». Για το συγκεκριμένο παράδειγμα του σχήματος 5.1, ύποθέτοντας σαν $K_1 = 400$ (δηλαδή το K του άγωγού 1 τελευταίας τάξεως) βρίσκεται ότι $S/S' = 0,90$. Συνήθως όμως το K_1 είναι πάντοτε άρκετά, μεγαλύτερο γιατί οι διάμετροι του άγωγού τελευταίας τάξεως είναι μικρότερες και έτσι στις έφαρμογές το S/S' αυξάνει σημαντικά.

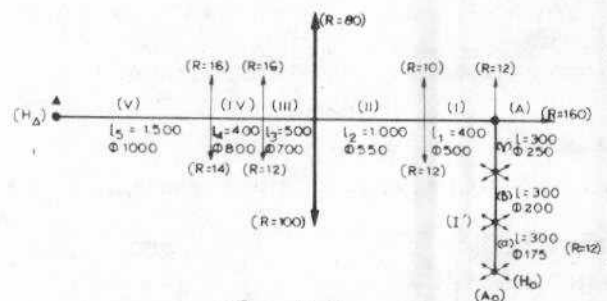
Είναι εύκολο με κάποια λογική αύξηση του K_1 να βρούμε εύκολα ότι ο λόγος S/S' στην ίδια πιο πάνω περίπτωση σχεδόν πλησιάζει τη μονάδα.

Έτσι προκύπτει ότι με τις άπλοποιημένες προσεγγιστικές εξισώσεις (60) ή (61) και (62) ή (63) προκύπτουν τα ίδια άποτελέσματα σχεδόν που δίδουν οι άπόλυτα σωστές (16), (29) και (27) ή ακόμα και οι (30) ή (31).

Παράδειγμα 5.2.

Στο πιο κάτω σχήμα 5.2 σημειώνεται μια γραμμή μεταφοράς (Δ-Α-Α₀). Η γραμμή μεταφοράς αυτή δεν έξυπηρετεί άγωγούς μόνο τελευταίας τάξεως όπως στο προηγούμενο παράδειγμα 5.1 αλλά τροφοδοτεί και άγωγους με σημαντικές παροχές. Επίσης τα μήκη των διαφόρων τμημάτων του άγωγού μεταφοράς διαφέρουν σημαντικά μεταξύ τους και το πέρας της γραμμής μεταφοράς καταλήγει σε ένα άγωγο τελευταίας τάξεως με 12 στόμια ύδροληψίας όπως περίπου συμβαίνει στις έφαρμογές.

Μέσα σε παρενθέσεις στο σχήμα 5.2 δίδουμε με την ένδειξη R τον αριθμό των στομιών που έξυπηρετεί κάθε πλευρική παροχή, που έξυπηρετείται από τη γραμμή μεταφοράς, εκτός από τον άγωγο τελευταίας τάξεως Α-Α₀ στον όποιο σημειώνονται λεπτομερειακά τα 12 στόμια.



$\Sigma X = 5.2$

Γίνεται δεκτό ότι $B = 3,00$, $p = \frac{1}{3}$, $q_0 = 6,0 \lambda/\delta\lambda$, $\varphi = 0,95$ όποτε με $\varepsilon = 1,65$ υπολογίζουμε τις μέσες τιμές μ_i και τις τυπικές αποκλίσεις σ_i σε $\lambda/\delta\lambda$ των παροχών στα τμήματα I, ..., V του τμήματος (Δ-Α) της γραμμής μεταφοράς δηλαδή:

$$\mu_1 = 368, \mu_2 = 412, \mu_3 = 772, \mu_4 = 828, \mu_5 = 888$$

$$\sigma_1 = 38,36, \sigma_2 = 40,6, \sigma_3 = 55,57, \sigma_4 = 57,55, \sigma_5 = 59,6$$

Για τον άγωγο τελευταίας τάξεως υπολογίζουμε στην κεφαλή του (τμήμα γ) $\mu_1 = 24,0$, $\sigma_1 = 9,8 \lambda/\delta\lambda$.

Εφαρμόζοντας τις οδηγίες του κεφαλαίου 6 βρίσκουμε για τα μήματα (α), (β), (γ) του άγωγου τελευταίας τάξεως (Α-Α₀) ή (Γ') τις έξι τιμές $Q_{1\alpha} = 18 \delta/\lambda\delta$, $Q_{1\beta} = 30 \lambda/\delta\lambda$ και $Q_{1\gamma} = 40,17 \lambda/\delta\lambda$ (ή δυσμενέστερα $42 \lambda/\delta\lambda$).

Για τον άγωγο τελευταίας τάξεως (Α-Α₀) προτιμάμε να δώσουμε μία άνηγμένη τιμή K' για όλα τα τμήματά του (α), (β) και (γ), την $K'_1 = \frac{1}{49} [9 \cdot K_{1\alpha} + 25 K_{1\beta} + 49 K_{1\gamma}] = 2595$ όπου δεχθήκαμε $K_{1\alpha} = 4452$, $K_{1\beta} = 2184$, $K_{1\gamma} = 663$ και άνοιχτά στόμια στα τμήματα (α), (β), (γ) αντίστοιχα 3,5 και 7, υποθέτοντας επί πλέον ότι

$$K = 10,3 \cdot n^2 \cdot D^{-1.6} \cdot L.$$

Έτσι καταλήξαμε να έχουμε αντί της γραμμής μεταφοράς Δ-Α-Α₀ με όκτώ τμήματα, μία γραμμή πάλι Δ-Α-Α₀ αλλά με έξι τμήματα Γ, I, ..., V στην οποία αντιστοιχούν τα παρακάτω στοιχεία

Τμήμα	Παροχή ($\lambda/\delta\lambda$) Κατά Clement	Τιμή του K $\delta\lambda^2/\mu$
Γ	40,17 (ή 42)	2595,00
I	431,29	22,00
II	479,00	33,00
III	863,69	4,55
IV	922,96	1,80
V	986,34	2,05

Εφαρμόζοντας τη σχέση (19) για $\alpha = 2,0$ βρίσκουμε ότι

$$m = \sum K_i (\mu_i^2 + \sigma_i^2) = 15,99 \text{ μετρ.}$$

και στη σχέση (28)

$$S^2 = 4 \left[\sum (K_i \mu_i \sigma_i)^2 + 2 \sum_{j>i} K_i K_j \mu_i \mu_j \sigma_i^2 + \frac{1}{2} \sum_{j>i} (K_i^2 \sigma_i^4 + K_j^2 \sigma_j^4) \right] \text{ βρίσκουμε}$$

$$\text{ότι } \sum (K_i \mu_i \sigma_i)^2 + \sum_{j>i} 2 K_i K_j \mu_i \mu_j \sigma_i^2 = 2,046$$

$$\text{και } \frac{1}{2} \left[\sum K_i^2 \sigma_i^4 + \sum_{j>i} K_i K_j \sigma_i^4 \right] = 3,61 \times 10^{-3}$$

Από τα παραπάνω αποτελέσματα φαίνεται ή άσημαντη έπιρροή του παραλειπόμενου όρου στην εξίσωση (28) $\frac{1}{2} (\sum K_i^2 \sigma_i^4 + \sum K_i K_j \sigma_i^4)$.

Η παράλειψη του όρου αυτού μειώνει την τιμή του S μόνο κατά 0,8%.

Αν λάβουμε υπόψη μετά ότι $S'^2 = \sum (K_i \mu_i \sigma_i)^2$ θα έχουμε:

$$S = 2(2,046)^{1/2} = 2,861$$

$$S' = 2 \times 1,857 = 3,714$$

$$\text{ή } S/S' = 0,77 \text{ και } g(y) = (S/S')^2 = 0,593$$

Επειδή όμως $\frac{\varepsilon S'}{h} = \frac{1,65 \times 3,714}{15,993 + 1,65 \times 3,714} = 0,277 (= 0,28)$

δηλαδή ή ποσοστιαία συμμετοχή του όρου $\varepsilon S'$ στο όλο h μικραίνει σημαντικά (όπως γράφτηκε στην προηγούμενη παράγραφο 5.1ε και στην αρχή της παρούσας) παρ' όλο πού ή τιμή του λόγου S/S' ή αντίστοιχα της $g(y) = (S/S')^2$ ξεφεύ-

γει κάπως από τα συνηθισμένα περιθώρια διακυμάνσεως πού δεχθήκαμε, έντούτοις με την έφαρμογή της προσεγγιστικής σχέσεως (63) ή τιμή του h δέν ξεφεύγει τελικά από τα περιθώρια πού προσδιορίσαμε για ή διακυμάνσή της.

Έτσι ή τιμή του h = $n + \varepsilon \cdot S' = 22,12$ μέτρα, ενώ ή σωστή τιμή h = $m + u \cdot S = 21,28$ μ. όπου πάρθηκε u = 1,85, δηλαδή ή αύξηση του h είναι τελικά σύμφωνα με τις σχέσεις (61) και (63) μόνο 3,95% πού σημαίνει ότι βρίσκεται μέσα στα όρια 8 έως 10% πού δεχθήκαμε ότι κυμαίνεται στις συνηθισμένες περιπτώσεις έφαρμογών.

Επίσης από το παραπάνω αριθμητικό παράδειγμα προκύπτει ότι όρθά έχει μειωθεί ή τιμή του u σε $u' = \varepsilon = 1,65$, στην περίπτωση πού χρησιμοποιούμε αντί της S την S'. Μάλιστα, ίσως θα έπρεπε σε πολλές περιπτώσεις να μειωθεί και περισσότερο αλλά με αυτό δέν κερδιζόμαστε παρά μικρό ποσοστό απώλειας και μόνο σε όρισμένες περιπτώσεις, ενώ σε άλλες ίσως θα έπρεπε να αύξηθεί όπως, π.χ. σε μεγάλες ποιότητες λειτουργίας $\varphi = 0,99$ κλπ.

Έτσι, επειδή με τις τιμές $u' \approx \varepsilon$ καλύπτουμε ένα μέσο όρο τιμών έφαρμογής της $u' = u \cdot S/S'$ για τις διάφορες γραμμές μεταφοράς και διάφορες τιμές της ποιότητας λειτουργίας, δεχόμαστε πάντοτε σάν σωστή την άποδοχή της $u' = \varepsilon$.

Επίσης έπισημαίνουμε ότι ή παράλειψη των δύο όρων της εξισώσεως (28) $\frac{1}{2} (\sum K_i^2 \sigma_i^4 + 2 \sum K_i K_j \sigma_i^4)$ είναι άπόλυτα δικαιολογημένη επειδή το μέγεθός τους είναι άσημαντο.

6. 'Ο άγωγός τελευταίας τάξεως.

Ο σχεδιασμός των άγωγών τελευταίας τάξεως με τις άποδεκτές σήμερα δυσμενείς παραδοχές ύπολογισμού, είναι ένα θέμα πού φαίνεται κατ' αρχή ότι δέν είναι δυνατό να δημιουργήσει σοβαρό ύπερσχεδιασμό στο όλο δίκτυο και έτσι αντιμετωπίζεται συνήθως, ενώ κανονικά θα πρέπει να εξετάζεται με ιδιαίτερη προσοχή και πάντοτε μέσα στα πλαίσια των γενικών παραδοχών ύπολογισμού, γιατί το μήκος των άγωγών τελευταίας τάξεως είναι κατά κανόνα πολύ μεγάλο σε σύγκριση με το ύπόλοιπο δίκτυο.

Βέβαια πολλές φορές διατυπώνονται άπόψεις όπως, π.χ. ότι ό πραγματοποιούμενος ύπερσχεδιασμός είναι και έπιθυμητός και σκόπιμος, διότι ή πραγματοποιούμενη αντίστοιχη αύξηση της ποιότητας λειτουργίας στους άγωγούς τελευταίας τάξεως καλύπτει άπρόβλεπτους παράγοντες.

Νομίζουμε όμως, ότι και αν ακόμη υπάρχουν αστάθμητοι παράγοντες για τους όποιους θα πρέπει να γίνεται ύπερσχεδιασμός των άγωγών τελευταίας τάξεως, θα ήταν άπόλυτα σωστό να γνωρίζουμε κατ' αρχή ακριβώς ή με ικανοποιητική προσέγγιση τις παραδοχές και τα αποτελέσματα ενός σωστού σχεδιασμού. Έτσι θα ήταν δυνατό ό σχεδιασμός των άγωγών τελευταίας τάξεως να γίνει μέσα στα πλαίσια των γενικών παραδοχών με τις όποιες ύπολογίζεται το όλο δίκτυο και έπομένως να διατηρείται και σ' αυτούς ή ίδια (ή περίπου ή ίδια) ποιότητα λειτουργίας με την όποια σχεδιάζεται και το ύπόλοιπο δίκτυο.

Εάν βέβαια στη συνέχεια θέλουμε να αύξήσουμε την ποιότητα λειτουργίας των άγωγών τελευταίας τάξεως για όποιοδήποτε λόγο, μπορούμε να το κάνουμε αλλά τουλάχιστον να γνωρίζουμε από ποιά βάση θα ξεκινήσουμε και πού θα είναι το ποσοστό αύξήσεως πού ένδεχόμενα θα δεχόμαστε.

Η μέχρι τώρα εφαρμόζόμενη τακτική είναι ή έπιβάρυνση των άγωγών τελευταίας τάξεως τόσο με επί πλέον παροχή όσο και με δυσμενή συγκέντρωσή της στα τέρματά τους. Έτσι έχουμε παρατηρήσει ότι ό ύπερσχεδιασμός από πλευράς δαπάνης είναι σε πολλές περιπτώσεις πολύ σημαντικός.

Όπως αναφέρθηκε όμως σχετικά και στην εισαγωγή (Κεφ. 1) στη χώρα μας με οδηγίες του Υπουργείου Δημοσίων Έργων [14] σε ένα άγωγο τελευταίας τάξεως πρέπει να δεχόμαστε πάντοτε την ταυτόχρονη λειτουργία τουλάχιστον δώδεκα στωμιών έφόσον $R > 12$ ενώ για $R \leq 12$ θεωρούμε ότι $N = R$. Για τις περιπτώσεις μάλιστα πού είναι συνηθισμένες στις έφαρμογές καταλήγουμε σχεδόν πάντοτε να θεωρούμε ότι είναι άνοιχτά όλα τα στόμια και συγκεντρωμένα μάλιστα στο τέρμα του άγωγου. Αυτό είναι εύλογο γιατί το πλήθος των στωμιών δέν ξεπερνά εύκολα τον αριθμό $R = 20$ συνήθως και μάλιστα αν λάβουμε υπόψη ότι για πιθανότητες $p = \frac{1}{3}$ έως $\frac{2}{3}$

σπάνια προκύπτει αριθμός άνοιχτών στομιών N μεγαλύτερος από δώδεκα.

Τελευταία προτείνεται [15] όπως η ζητούμενη παροχή από ένα άγωγό τελευταίας τάξεως κατανέμεται στα πλέον απομακρυσμένα στόμια του άγωγού και με όμοιο τρόπο που κατανέμεται ή μέγιστη ζητούμενη παροχή ή όποια αντιστοιχεί στην επιθυμητή ποιότητα λειτουργίας φ.

Με αυτό τον τρόπο, προκύπτουν βέβαια λογικότερα αποτελέσματα αλλά πάλι δεν αποφεύγεται ένας σχετικά σημαντικός υπερσχεδιασμός.

Γίνεται φανερό από τα πιο πάνω, που αναφέρονται σε όσα εφαρμόζονται ή προτείνονται για εφαρμογή μέχρι σήμερα, ότι χωρίς να μειωθεί καθόλου ή ποιότητα λειτουργίας του άγωγού τελευταίας τάξεως κάτω από την επιθυμητή, είναι δυνατό να μειώσουμε τόσο τον αριθμό των θεωρούμενων σαν άνοιχτών στομιών όσο και να αποφύγουμε τη συγκέντρωσή τους στο πέρας του άγωγού.

Έτσι, αν πετύχουμε, τον όρισμένο αριθμό N των άνοιχτών στομιών που εύκολα υπολογίζεται, να τον κατανείμουμε κατάλληλα σε κάθε εξεταζόμενη περίπτωση άγωγού τελευταίας τάξεως, ώστε να διατηρούμε ποιότητα λειτουργίας ίση ή λογικά μεγαλύτερη από την επιθυμητή, έχουμε πετύχει το στόχο μας που βασικά είναι η επίτευξη ενός πιο λογικού και σωστού σχεδιασμού του άγωγού.

Πράγματι τα θεωρούμενα σαν άνοιχτά στόμια καθορίζουν ένα αιτιοκρατικό (deterministic) σχήμα ζήτησεως που αντιστοιχεί και καλύπτει το πραγματικό πιθανοθεωρητικό σχήμα λειτουργίας του άγωγού, σε ένα προκαθορισμένο ποσοστό περιπτώσεων ζήτησεως που καθορίζεται από μία αντίστοιχη προκαθορισμένη ποιότητα λειτουργίας. Φυσικά μ' αυτό τον τρόπο καταλήγουμε πάλι να προσδιορίζουμε για κάθε τμήμα του άγωγού τελευταίας τάξεως μια «ιδεατή παροχή» που προκύπτει από το πλήθος των θεωρούμενων άνοιχτών στομιών κατάντη του εξεταζόμενου τμήματος.

Στη συνέχεια εξετάσαμε διάφορες περιπτώσεις άγωγών τελευταίας τάξεως με 1,2,3,4,5 και 10 στόμια με γενικό τρόπο ή με εξομοίωση της λειτουργίας κάποιου συγκεκριμένου άγωγού ώστε να πάρουμε αποτελέσματα σχετικά με την κατανόη της άπώλειας φορτίου.

Την έρευνα αυτή όμως δε τη δίδουμε εδώ, με σκοπό να περιορίσουμε την έκταση της δημοσίευσής. Σε μια μελλοντική ένδεχομένης δημοσίευση θα δώσουμε όλα τα λεπτομερή στοιχεία της έρευνας. Στη συνέχεια διατυπώνουμε μόνο συμπεράσματα και τον τρόπο εφαρμογής.

Έτσι σαν τελικό συμπέρασμα από όλες τις πιο πάνω ειδικές περιπτώσεις, που είναι όμως χαρακτηριστικές, βρήκαμε ότι η άπώλεια φορτίου σε ένα άγωγό τελευταίας τάξεως, που αντιστοιχεί σε μια στάθμη πιθανότητας (ή ποιότητας λειτουργίας) φ, που συνήθως βρίσκεται κοντά ή μέσα στο διάστημα 0,90 έως 0,95 και εξυπηρετεί μέχρι 10 στόμια, μπορεί πάντοτε να υπολογίζεται από τη σχέση:

$$h' = \Sigma K_i Q_i^2 \quad (64)$$

όπου $Q_i =$ ιδεατές παροχές = $N \cdot q_0$

και N = ο αριθμός των άνοιχτών στομιών που υπολογίζονται για κάθε τμήμα του άγωγού από ένα πίνακα διωνυμικής κατανομής για την επιθυμητή φ, την δεδομένη P και το συνολικό πλήθος R των στομιών που εξυπηρετούνται από το παραπάνω τμήμα.

$$\alpha = 1,76 \text{ περίπου έως } 3,00$$

Συνήθως η τιμή του $h_p > h_p$ αλλά ο πραγματοποιούμενος υπερσχεδιασμός είναι λογικός και όπωσδήποτε ανεκτός. Έτσι καταλήγουμε να έχουμε πάντοτε μια ευμενέστερη διάταξη άνοιχτών στομιών, σε σύγκριση με τις μέχρι σήμερα εφαρμοζόμενες ή προτεινόμενες διατάξεις, και επομένως ευνόκιότερη τιμή άπώλειας φορτίου που έχει σαν άμεσο αποτέλεσμα την μικρότερη οικονομική επιβάρυνση του δικτύου.

Πάντως όσο μικρότερη είναι η τιμή της P π.χ. πλησίον στη τιμή $1/3$ (και φ = 0,90 έως 0,95) τόσο μεγαλύτερη αξία έχει η εξεύρεση της σωστής διατάξεως των άνοιχτών στομιών για την αποφυγή σημαντικού υπερσχεδιασμού.

Στη συνέχεια δίδουμε στον πίνακα 6.1 για διάφορες τιμές της P = 0,25 έως 0,65 και για φ = 0,90 — 0,95 — 0,99 το

πλήθος των άνοιχτών στομιών N με τα όποια θα πρέπει να υπολογίζονται οι ιδεατές παροχές σε άγωγούς τελευταίας τάξεως που εξυπηρετούν μέχρι 12 στόμια ύδροληψίας, γιατί όπως είπαμε πιο πάνω για περισσότερα από 10 έως 12 στόμια μπορούμε να εφαρμόσουμε τις σχέσεις (62) ή (63) του κεφαλαίου 5.

Με τον πίνακα 6.1 καλύπτονται όλες οι περιπτώσεις που συνήθως παρουσιάζονται στις εφαρμογές.

Η χρήση του πίνακα 6.1 είναι απλούστατη γιατί για κάθε τμήμα άγωγού, από το οποίο εξυπηρετούνται $R < 10$ ή 12 στόμια και για δεδομένες τιμές της φ και P βρίσκουμε το πλήθος N και επομένως την αντίστοιχη ιδεατή παροχή $Q = N \cdot q_0$. Τέλος σημειώνουμε το γεγονός ότι μ' αυτό τον τρόπο γίνεται εύκολα και συσχετισμός της άπώλειας φορτίου με την παροχή κεφαλής του εξεταζόμενου άγωγού τελευταίας τάξεως

Μπορεί έτσι να καθοριστεί και μια σχέση

$$h = K' \cdot Q^2 \text{ (ή } K' Q^{\alpha} \text{)} \quad (65)$$

$$\text{όπου } K' = \frac{1}{Q^2} \cdot (\Sigma K_i Q_i^2) \cdot \eta \left(= \frac{1}{Q^{\alpha}} \Sigma K_i Q_i^{\alpha} \right) \quad (66)$$

Q = παροχή κεφαλής

και $K_i Q_i =$ οι αντίστοιχες τιμές των K και Q για τα διάφορα τμήματα του άγωγού τελευταίας τάξεως.

Έτσι είναι εύκολο και μπορούμε σε μια γραμμή μεταφοράς, αν θέλουμε στο τέρμα της (όπου συνήθως καταλήγει σε άγωγό τελευταίας τάξεως) να αντικαταστήσουμε τον άγωγό τελευταίας τάξεως, με ένα ιδεατό τμήμα που θα έχει χαρακτηριστικά στοιχεία K' και Q. Αυτό πολλές φορές ένδεχομενες μπορεί να διευκολύνει τους υπολογισμούς και να μειώσει επίσης και τον όγκο τους.

Για να μη γίνει σύγχυση στη χρήση του Πίνακος 6.1 τονίζουμε τα εξής:

Όταν θέλουμε να βρούμε όχι μόνο τον αριθμό των άνοιχτών στομιών αλλά και τη διάταξή τους, ξεκινάμε από τα τελευταία τμήμα του εξεταζόμενου άγωγού βλέποντας έτσι τον αριθμό, π.χ. N_1 στο τέρμα του. Στη συνέχεια μεταβαίνουμε στο επόμενο προτελευταίο τμήμα του όπου παίρνουμε ένα νέο αριθμό N_2 , όποτε τη διαφορά $N_2 - N_1$ την τοποθετούμε στον προτελευταίο κόμβο. Έργαζόμενοι με τον ίδιο τρόπο φθάνουμε στην κεφαλή πετυχαίνοντας έτσι και μια σωστή διάταξη κατανομής του συνολικού αριθμού N άνοιχτών στομιών.

7. Χαρακτηριστικό παράδειγμα βελτιστοποίησης.

Στο παράδειγμα που ακολουθεί δίδουμε ένα χαρακτηριστικό δίκτυο που έχει σαν κύριο κορμό 10 τμήματα στη σειρά, όποιος εξυπηρετεί 13 άγωγούς τελευταίας τάξεως. Από το δίκτυο αυτό εξυπηρετούνται συνολικά 120 στόμια ύδροληψία και έκταση της τάξεως των 4.800 στρεμμάτων.

Η μορφή του δικτύου εμφανίζεται στο σχήμα 7.1 που ακολουθεί και τα δεδομένα δίδονται πιο κάτω.

Οι παροχές υπολογίστηκαν σε δυο περιπτώσεις δηλαδή στην περίπτωση A όπου υπολογίστηκαν με τις οδηγίες του Ύπουργείου Δημοσίων Έργων και στην περίπτωση B με τις οδηγίες των κεφαλαίων 5 και 6. Στην περίπτωση B καταρχή δίδονται ξεχωριστά οι παροχές που δίδουν οι σχέσεις (58) και (59) όπως και η σχέση του R. Clement (2) για να φανεί η διαφορά ή όποια όπως είπαμε είναι πολύ μικρή για τις σχέσεις (58, 59) αλλά και για τη σχέση (2) είναι πάλι σχετικά μικρή. Βέβαια τελικά στην περίπτωση B εφαρμόζονται οι παροχές που προκύπτουν με εφαρμογή της σχέσεως (59) ή (63).

Στη συνέχεια με διατήρηση των ίδιων δεδομένων (μήκη, ύψομετρα κλπ., γεωμετρικά στοιχεία) στο δίκτυο και με αλλαγή μόνο των παροχών σχεδιασμού προβαίνουμε στη βελτιστοποίησή του τόσο στην περίπτωση A όσο και στη B, για να ελαχιστοποιήσουμε το κόστος με κατάλληλη έκλογή των διαμέτρων. Η βελτιστοποίηση έγινε με τη μέθοδο του Y. Labbe και με πρόγραμμα του συνάδελφου I. Ευθυμιάτου σε ηλεκτρονικό υπολογιστή. Τα αποτελέσματα πιο άφροντα τις διαμέτρους κλπ. βασικά στοιχεία εμφανίζονται πιο κάτω τόσο στην περίπτωση A όσο και στη B.

Π Ι Ν Α Κ Α Σ 6.1

Γιά τόν καθορισμό του αριθμού N ανοιχτών στομιών σε άγωγούς τελευταίας τάξεως

Έξυπηρετούμενο πλήθος στομιών	Αριθμός N ανοιχτών στομιών																														
	P = 0.25			P = 0.30			P = 1/3			P = 0.35			P = 0.40			P = 0.45			P = 0.50			P = 0.55			P = 0.60			P = 0.65			
	ψ			ψ			ψ			ψ			ψ			ψ			ψ			ψ			ψ			ψ			
	R	090	095	099	090	095	099	090	095	099	090	095	099	090	095	099	090	095	099	090	095	099	090	095	099	090	095	099	090	095	099
1	1	1	1	1	1	1	1	1	1	1	1	1	1	1	1	1	1	1	1	1	1	1	1	1	1	1	1	1	1	1	
2	1	2	2	1	2	2	2	2	2	2	2	2	2	2	2	2	2	2	2	2	2	2	2	2	2	2	2	2	2	2	2
3	2	2	3	2	2	3	2	2	3	2	2	3	2	3	3	2	3	3	3	3	3	3	3	3	3	3	3	3	3	3	3
4	2	3	3	2	3	3	3	3	4	3	3	4	3	3	4	3	3	4	3	4	4	4	4	4	4	4	4	4	4	4	4
5	3	3	4	3	3	4	3	3	4	3	4	4	3	4	5	4	4	5	4	4	5	5	5	5	5	5	5	5	5	5	5
6	3	3	4	3	4	5	3	4	5	4	4	5	4	4	5	4	5	5	5	5	5	6	6	6	6	6	6	6	6	6	6
7	3	4	5	4	4	5	4	4	5	4	5	5	4	5	6	5	5	6	5	6	6	6	7	7	7	7	7	7	7	7	7
8	4	4	5	4	5	6	4	5	6	5	5	6	5	5	6	5	6	7	6	6	7	7	8	8	7	8	8	7	8	8	8
9	4	4	5	4	5	6	5	5	6	5	6	7	5	6	7	6	6	7	6	7	8	8	9	9	8	9	9	8	9	9	9
10	4	5	6	5	5	7	5	5	7	5	6	7	6	7	8	6	7	8	7	8	8	9	9	10	9	9	10	9	10	10	10
11	5	5	6	5	6	7	6	6	7	6	7	8	6	7	8	6	7	8	7	8	9	10	11	11	10	10	11	10	11	11	11
12	5	6	7	6	6	7	6	6	8	6	7	8	7	8	9	8	8	9	8	8	9	10	11	11	10	11	12	11	12	12	12

Τμήμα κύριου άγωγού (i)	Πλήθος εξυπ. στομιών R	Μέση τιμή μ λ/δλ	Απόκλιση σ λ/δλ	Παροχές Qi (λ/δλ) για ε = 1.28, φ = 0,90		
				$Q_i = (\mu_i^2 + \sigma_i^2 + 2\epsilon\mu_i\sigma_i)^{1/2}$	$Q_i = [\mu_i^2 + \frac{\alpha(\alpha-1)}{2}\mu_i^{\alpha-2}\sigma_i^2 + \alpha\epsilon\mu_i^{\alpha-1}\sigma_i]^{1/2}$	$Q_i = \mu_i + \epsilon\sigma_i$
36 - 30	18	43,2	15,55	61,87	62,14	63,10
30 - 25	36	86,4	22,0	113,20	114,24	114,56
25 - 21	50	120,0	25,92	151,77	152,07	153,18
21 - 18	62	148,8	3,87	184,31	184,61	185,75
18 - 14	72	172,8	31,11	211,16	211,45	212,62
14 - 11	84	201,6	33,60	243,13	243,60	244,61
11 - 8	92	220,8	35,16	264,32	264,60	265,80
8 - 4	100	240,0	36,66	285,43	285,71	286,92
4 - 1	112	268,8	38,80	316,95	317,24	318,46
1 - Δ ₀	120	288,0	40,16	337,88	338,20	339,40

Πρώτα, όπως είπαμε, δίδουμε τις ιδεατές παροχές για την περίπτωση Β με τις σχέσεις (59), (58) και (2).

Από τις παραπάνω παροχές εφαρμόζουμε στρογγυλεμένες στο πρώτο δεκαδικό ψηφίο, τις παροχές $Q_i = (\mu_i^2 + \sigma_i^2 + 2\epsilon\mu_i\sigma_i)^{1/2}$. Οι υπόλοιπες παροχές των άγωγών τελευταίας τάξεως βρίσκονται πολύ εύκολα από τον πίνακα 6.1 για φ = 0,90 και p = 0,30.

Τα βασικά δεδομένα του δικτύου του σχήματος 8.2 είναι :
 p = 0,30 q₀ = 8,0 λ/δλ

Απώλειες στους σωλήνες h = KQ^α όπου το h δίδεται σε

μ/χλμ. και το Q σε λ/δλ. το δε K σε συνάρτηση με τη διάμετρο D. Σημειώνουμε ότι για χαλυβδосωλήνες δεχθήκαμε το α = 1,96 και για αμμαντοσιμεντοσωλήνες α = 1,786.

Οι μέγιστες ταχύτητες είναι εκείνες που σημειώνονται στον πίνακα που ακολουθεί (πρόκειται για ταχύτητες λίγο ελαττωμένες σε σχέση με αυτές που δίνει η σχετική εγκόκλησις του Υπουργείου), ενώ για ελάχιστη ταχύτητα έγινε δεκτή η τιμή 0,50 μ/δλ.

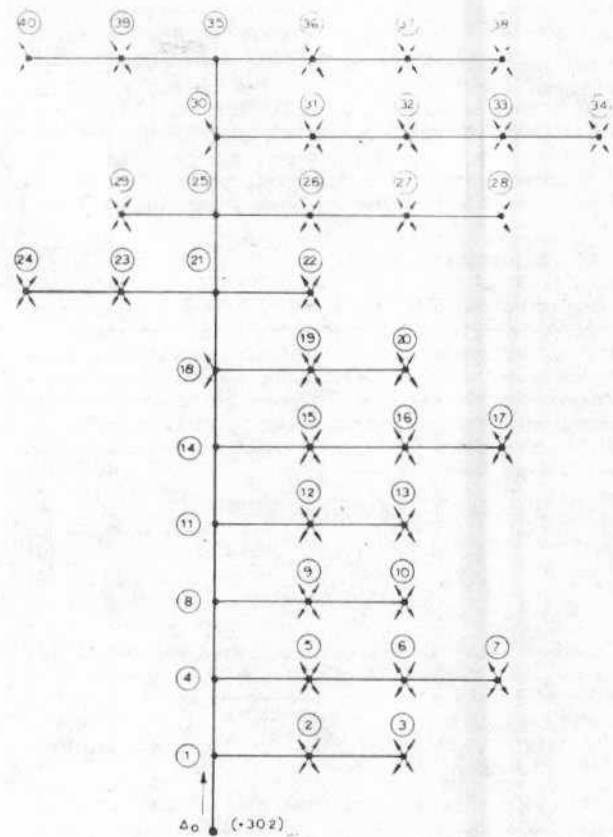
Το κόστος για την προμήθεια και εγκατάσταση των σωλήνων δίδεται επίσης σε συνάρτηση με τη διάμετρο.

Τα γενικά δεδομένα δίδονται άμεσαως πιο κάτω μαζί με τους περιορισμούς των ταχυτήτων.

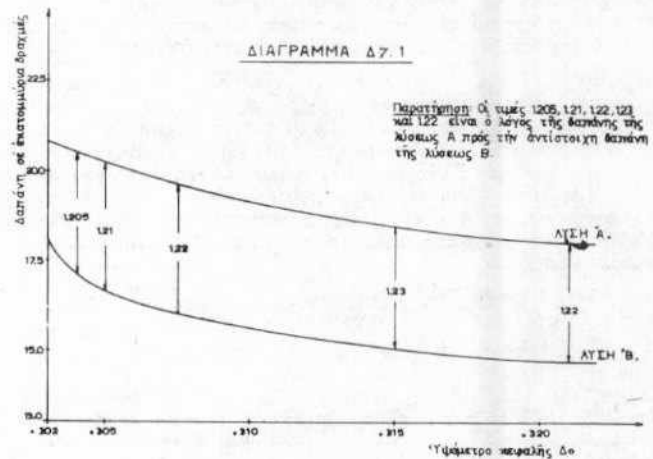
Σχ. 7.1

Διάμετρος χλστ.	Κόστος σε δραχ./μ.	Τιμή του Κ	Τιμή του α	Ταχύτητες	
				Μέγιστες	Ελάχιστες
1200	11330	0,0000007164	1,960	2,50	0,50
1100	9800	0,0000011254	»	»	»
1000	8380	0,0000018452	»	2,40	»
900	7010	0,0000031888	»	»	»
800	5705	0,0000059761	»	2,30	»
700	4460	0,0000117500	»	»	»
600	3615	0,0000261530	»	2,20	»
500	3120	0,0001548660	1,786	»	»
450	2600	0,0002564400	»	2,10	»
400	2095	0,0004505600	»	»	»
350	1645	0,0008536700	»	2,00	»
300	1250	0,0017852000	»	»	»
250	920	0,0042724000	»	»	»
200	680	0,0124300000	»	1,00	»
175	565	0,0235510000	»	1,70	»
150	465	0,0492540000	»	1,60	»
125	370	0,1178700000	»	1,40	»
100	315	0,3429300000	»	1,20	»
80	245	0,9977491300	»	1,00	»

Στη συνέχεια δίδονται τα γεωμετρικά στοιχεία του δικτύου και οι παροχές σχεδιασμού στις δύο περιπτώσεις Α και Β που εξετάζονται. (Σχ. 7.1)



Όνομασία κλάδου	Μήκος (μετρ.)	Υψόμετρο		Εγκατεστημένα στόμια	Παροχές (λ/δλ)	
		Εδαφος	Ελάχιστο πιεζ. γραμμής		Περίπτωση	
					A	B
1	1000	+266	+276	120	391,6	337,9
2	200	263	298	8	64,0	32,0
3	400	260	295	4	32,0	16,0
4	400	263	273	112	381,6	316,9
5	200	262	297	12	96,0	45,1
6	400	261	296	8	64,0	32,00
7	420	259	294	4	32,0	16,0
8	380	260	270	100	235,4	285,4
9	220	258	293	8	64,0	32,0
10	400	257	292	4	32,0	16,0
11	400	258	263	92	325,4	264,3
12	180	257	292	8	64,0	32,0
13	420	255	290	4	32,0	16,0
14	400	255	265	84	279,9	243,1
15	200	255	290	12	96,0	45,1
16	400	254	289	8	64,0	32,0
17	400	254	289	4	32,0	16,0
18	450	251	283	72	279,9	211,2
19	200	250	285	8	64,0	32,0
20	420	250	285	4	32,0	16,0
21	450	248	258	62	216,1	184,3
22	220	248	283	4	32,0	16,0
23	200	249	284	8	64,0	32,0
24	400	250	285	4	32,0	16,0
25	420	245	255	50	216,1	151,8
26	220	243	273	10	80,0	40,0
27	400	242	272	6	36,0	24,0
28	420	242	274	2	16,0	16,0
29	200	246	281	4	32,0	16,0
30	400	244	276	36	137,7	113,2
31	180	243	278	16	96,0	56,0
32	380	242	277	12	96,0	45,1
33	400	241	276	8	64,0	32,0
34	380	240	275	4	32,0	16,0
35	450	240	255	18	132,0	61,9
36	200	240	275	12	96,0	45,1
37	380	240	275	8	64,0	32,0
38	400	239	274	4	32,0	16,0
39	220	241	276	6	36,0	24,6
40	400	241	273	2	16,0	16,0



Παρατήρηση: Οι τιμές 1205, 121, 122, 123 και 122 είναι ο λόγος της διαπίσης της κλίσεως Α προς την αντίστοιχη διαπίση της κλίσεως Β.

Συνοπτικά συμπεράσματα για τη μείωση του κόστους

Με το πιο πάνω χαρακτηριστικό παράδειγμα αποκτήσαμε με αντίληψη της τάξεως μεγέθους της οικονομίας που επιτυγχάνεται σε άρδευτικά δίκτυα αν τα σχεδιάσουμε σωστά εφαρμόζοντας τις «ιδεατές παροχές».

Έτσι βλέπουμε ότι η ελάχιστη οικονομία που επιτυγχάνεται είναι της τάξεως του 20% περίπου επί του κόστους για σωστό σχεδιασμό. Το ποσοστό αυτό αντιστοιχεί σε έδαφη που έχουν μικρές κλίσεις και έτσι με την τοποθέτηση τετραπλών υδροληψιών μειώνεται το μήκος των αγωγών τελευταίας τάξεως.

Επίσης από παραδείγματα που δεν εμφανίζονται στην παρούσα εργασία διαπιστώθηκε ότι σε ειδικές περιπτώσεις τα πιο πάνω ποσοστά μπορεί να αυξηθεί μέχρι και 50% περίπου. Αυτό βέβαια θα συμβεί σε περιπτώσεις εδαφών με έντονοτερες κλίσεις όπου τοποθετούνται διπλές υδροληψίες και κατά συνέπεια το μήκος των αγωγών τελευταίας τάξεως είναι πάρα πολύ μεγάλο σε σύγκριση με το μήκος των αγωγών άνωτερης τάξεως. Επομένως ρόλο στη διακύμανση του πο-

σοστού οικονομίας παίζει η μορφολογία του εδάφους, ή γενική διάταξη του δικτύου και των υδροληψιών κλπ.

Τελικά μπορεί να γίνει δεκτό ότι το ποσοστό οικονομίας που επιτυγχάνεται επί του κόστους ενός δικτύου που σχεδιάζεται σωστά, μπορεί να θεωρηθεί κατά ελάχιστο σε 20 έως 25%. Το ποσοστό αυτό βέβαια πρέπει να θεωρείται ότι αποτελεί ένα μέσο στατιστικό όρο των διαφόρων περιπτώσεων που μπορεί να παρουσιαστούν στις εφαρμογές και αναφέρεται στο συνολικό κόστος των δικτύων (σωληνες, χωματοεργικά κ.λ.π.).

8. Συμπεράσματα

α) Οι πληροφορίες που δίνει η σχέση (2) για τις ζητούμενες παροχές σε μία θέση θεωρούνται αρκετά ικανοποιητικές για τον υδραυλικό σχεδιασμό ενός αρδευτικού δικτύου. Η σχέση αυτή που είναι γνωστή σαν «1ος τύπος του R. Clement» προκύπτει από την παραδοχή της λειτουργίας κάθε στομίου υδροληψίας με σταθερή πιθανότητα έντσης της αρδευτικής ημέρας χωρίς να λαμβάνεται υπόψη το ιστορικό της λειτουργίας του όλου δικτύου.

Έτσι μ' αυτές τις πληροφορίες της σχέσεως (2) $Q = \mu + \epsilon \cdot \sigma$ ή $N = R \cdot p + \epsilon [Rp(1-p)]^{1/2}$ που θεωρούνται χρήσιμες και σωστές για το σχεδιασμό ενός δικτύου, είναι δυνατό για μία επιθυμητή ποιότητα λειτουργίας φ, να υπολογίσουμε τη μέγιστη παροχή που ζητείται στην κεφαλή ή και σε άλλες θέσεις.

Προκειμένου όμως να προχωρήσουμε στον υπολογισμό των διαμέτρων του δικτύου, δεν είναι σωστό να αθροίσουμε τις παροχές αυτές οι οποίες είναι οι μέγιστες που παρουσιάζονται στις διάφορες θέσεις για καθορισμένες τιμές της ποιότητας λειτουργίας φ, της πιθανότητας λειτουργίας κάθε στομίου φ και της παροχής q_0 των στομίων υδροληψίας.

Μέχρι τώρα οι σχετικές προτάσεις για τον καθορισμό των παροχών σχεδιασμού βασίζονται σε αμφισβητήσιμες προτάσεις ή εμπειρικές και περίπου αυθαίρετες κατανομές της όλης παροχής κεφαλής ή των επί μέρους παροχών των διαφόρων κλάδων. Οι κατανομές αυτές δεν ανταποκρίνονται στην πραγματικότητα και συνήθως καταλήγουν σε υπερσχεδιασμό.

β) Στην παρούσα εργασία λαμβάνοντας υπόψη τον σωστό καθορισμό της ποιότητας λειτουργίας του δικτύου που είναι η ποιότητα της λειτουργίας των εξυπηρετούμενων στομίων (δηλαδή ένα στόμιο έχει ποιότητα λειτουργίας φ, αν το ύψομετρο της πιεζομετρικής γραμμής άμέσως ανάντη αυτού παραμείνει για στάθμη πιθανότητας φ, μεγαλύτερη ή ίση προς το απαιτούμενο), καταλήξαμε στη μελέτη της κατανομής της απώλειας φορτίου κατά μήκος των διαφόρων γραμμών μεταφοράς.

Η μελέτη της κατανομής της απώλειας φορτίου πραγματοποιήθηκε με την έκφραση (12).

$$h = \Sigma K_i Q_i^a$$

όπου Q_i είναι οι παροχές που ζητούνται σε κάθε κλάδο της γραμμής μεταφοράς και K_i οι αντίστοιχες συναρτήσεις που δίνουν οι σχέσεις (9) και (10).

Για τη μαθηματική επεξεργασία γίνεται δεκτό ότι κάθε άγωγος τελευταίας τάξεως εξυπηρετεί τουλάχιστον 10 στόμια, όποτε είναι δυνατό να υποτεθεί ότι οι παροχές στην κεφαλή των άγωγών τελευταίας τάξεως ακολουθούν την κανονική κατανομή. Πάντως και αν ακόμα εξυπηρετούνται από τους άγωγους τελευταίας τάξεως λιγότερα από 10 στόμια, πάλι εφαρμόζονται τα συμπεράσματα της παρούσης εργασίας. Τη λειτουργία του άγωγού τελευταίας τάξεως που εξυπηρετεί μέχρι 10 ή το πολύ 12 στόμια έχουμε εξετάσει στο κεφάλαιο 6 και έχουμε καταλήξει σε συμπεράσματα. Σύμφωνα λοιπόν με τα συμπεράσματα αυτά είναι δυνατό πάντοτε να απεικονίσουμε τη λειτουργία του με ένα αιτιοκρατικό σχήμα ζητήσεως το οποίο προκύπτει θεωρώντας όρισμένα από τα στόμια του σαν άνοιχτα. Το πλήθος και η θέση αυτών των στομίων προσδιορίζονται με ένα τρόπο που είναι απλός.

Έτσι είναι δυνατό σε κάθε τμήμα του να προσδιορίζεται μία παροχή σχεδιασμού που ονομάζεται «ιδεατή παροχή σχεδιασμού» ή οποία δίνει τις απώλειες φορτίου που αντιστοιχούν στην εξεταζόμενη θέση για στάθμη πιθανότητας (ποιότητας λειτουργίας) φ ή τις υπερβάλλει κατά λογικό ποσοστό μικρής τάξεως. Επίσης είναι εύκολο να βρεθεί και η σχέση απώλειας

φορτίου και παροχής κεφαλής του άγωγού ή άλλης εξεταζόμενης θέσεως του.

Η εύρεση των άνοιχτων στομίων γίνεται με τη βοήθεια του πίνακα 6.1 σε συνάρτηση με το πλήθος R των στομίων που εξυπηρετεί κάθε τμήμα του άγωγού, με την πιθανότητα λειτουργίας του κάθε στομίου και την επιθυμητή ποιότητα λειτουργίας φ. Για τιμές εκτός του πίνακα μπορεί κανείς να χρησιμοποιήσει ένα πίνακα διωνυμικής κατανομής σύμφωνα με τις οδηγίες του κεφαλαίου 6. Για περισσότερα από 10 ή το πολύ 12 στόμια όποτε η παροχή ακολουθεί την κανονική κατανομή εφαρμόζονται οι σχέσεις (62) ή (63) του κεφαλαίου 5 που δίνουν τις «ιδεατές παροχές» στους υπόλοιπους άγωγους ανωτέρας τάξεως.

Εκτός από τις «ιδεατές παροχές σχεδιασμού» που αναφέρουμε στον άγωγό τελευταίας τάξεως και που καθορίζονται για άγωγους που εξυπηρετούν λιγότερα από 10 ή 12 στόμια με τη βοήθεια του πίνακα 6.1 του κεφαλαίου 6, καθορίζονται επίσης με βάση τις σχέσεις (62) ή (63) και οι «ιδεατές παροχές σχεδιασμού» στους άγωγους ανωτέρας τάξεως, οι οποίες είναι:

$$Q_i = [\mu_i^2 + \sigma_i^2 + 2\epsilon \cdot \mu_i \cdot \sigma_i]^{1/2} = \mu_i (1 + C_{V_i}^2 + 2\epsilon \cdot C_{V_i})^{1/2}$$

ή με μικρή υποτίμηση των απωλειών:

$$Q_i = (\mu_i^2 + 2\epsilon \cdot \mu_i \cdot \sigma_i)^{1/2} = \mu_i (1 + 2\epsilon \cdot C_{V_i})^{1/2}$$

ενώ με μικρή υπερτίμηση των απωλειών:

$$Q_i = \mu_i + \epsilon \cdot \sigma_i = \mu_i (1 + \epsilon \cdot C_{V_i})$$

που είναι η σχέση (2) του R. Clement.

Σημειώνουμε ότι:

Q_i = ιδεατή παροχή σχεδιασμού του κλάδου i
 μ_i, σ_i = μέση τιμή και τυπική απόκλιση της παροχής στον κλάδο i που δίδονται από τις σχέσεις (3) και (4)
 C_{V_i} = συντελεστής μεταβολής παροχών του κλάδου ή τμήματος (i)
 ϵ = τυποποιημένη τυχαία μεταβλητή κανονικής κατανομής

Το σημαντικό είναι, ότι οι πιο πάνω σχέσεις εφαρμόζονται πάντοτε, οποιαδήποτε σχέση του κεφ. 2 και αν δεχθούμε για τον υπολογισμό των απωλειών.

Οι σχέσεις (62) προέκυψαν από τη μελέτη της σχέσεως (12) μετά από λογικές και ανεκτές προσεγγίσεις για το πεδίο εφαρμογής των σχέσεων (30) και (31). Επίσης από τη μελέτη της απώλειας h προέκυψε το συμπέρασμα ότι η κατανομή της μπορεί με μεγάλη προσέγγιση να θεωρηθεί όσο αυξάνουν οι κλάδοι, ότι τείνει προς την κανονική και οι τυποποιημένες

τιμές της $u = \frac{h-m}{s}$ τείνουν προς τις τιμές της τυποποιημένης κανονικής κατανομής.

Η μέση τιμή και η απόκλιση της απώλειας φορτίου είναι:

$$m = \Sigma K_i \cdot (\mu_i^2 + \sigma_i^2) \quad \eta \quad \Sigma K_i \cdot \left[\mu_i^2 + \frac{\alpha(\alpha-1)}{2} \cdot \mu_i^{\alpha-1} \cdot \sigma_i^2 \right]$$

$s \approx 2 \Sigma K_i \mu_i \sigma_i \quad \eta \quad (\alpha \Sigma K_i \mu_i^{\alpha-1} \sigma_i)$, $\alpha =$ περίπου 1,76 έως 2,00

Τελικά δεχθήκαμε τις εξής τιμές της u που τις χαρακτηρίσαμε με το ϵ της τυποποιημένης κανονικής κατανομής.

$$\begin{array}{ll} u = \epsilon = 1,28 & \text{για } \phi = 0,90 \\ u = \epsilon = 1,65 & \text{για } \phi = 0,95 \\ u = \epsilon = 2,33 \text{ (έως 2,40)} & \text{για } \phi = 0,99 \end{array}$$

Δηλαδή δεχόμεθα τις τιμές της τυχαίας μεταβλητής τυποποιημένης κανονικής κατανομής.

Τα συμπεράσματα πάντως της παρούσας εργασίας και τα αποτελέσματα από την εφαρμογή των «ιδεατών παροχών» σχεδιασμού, έχουν επαληθευτεί σε συγκεκριμένες περιπτώσεις γραμμών μεταφοράς (τελευταίας ή ανωτέρας τάξεως) με την μέθοδο της εξομοίωσης.

γ) Στο θέμα της ποιότητας λειτουργίας έγινε πιο πάνω αποδεκτός ο καθορισμός της ποιότητας λειτουργίας των εξυπηρετούμενων στομίων.

Θά μπορούσαμε όμως με τα συμπεράσματα που πήραμε από την πιο πάνω σωστή αποδοχή του καθορισμού της ποιότητας

λειτουργίας, να δεχθούμε και σαν ταυτόσημο τον έξις καθορισμό της ποιότητας λειτουργίας, του δικτύου «ότι ποιότητα λειτουργίας φ του δικτύου θα είναι η πιθανότητα όπως $Q \leq Q_i$ για κάθε τμήμα ή κλάδο του και όπου Q_i είναι η αντίστοιχη ιδεατή παροχή», δηλαδή $p(Q \leq Q_i) = \varphi$.

Πάντως μετά τον καθορισμό των σχέσεων (62) που δίνουν τις ιδεατές παροχές σχεδιασμού ουσιαστικά λύθηκε και το πρόβλημα της βελτιστοποίησης γιατί από τη στιγμή που στο δίκτυο καθορίζονται για κάθε τμήμα ή κλάδο του οι παροχές και τα όρια διακυμάνσεως των ταχυτήτων, μπορούμε να εφαρμόσουμε μια από τις γνωστές μεθόδους όπως, π.χ. την άσυνεχη μέθοδο του Y. Labye.

δ) Όπως έγινε φανερό με τον καθορισμό των σωστών κριτηρίων σχεδιασμού ενός αρδευτικού δικτύου επιτυγχάνεται μια σημαντική οικονομία που, όπως αναφέρθηκε στο κεφάλαιο 8, ξεπερνά συνήθως κατά μέσο όρο το 20% σε σύγκριση με τα οικονομικά αποτελέσματα που δίνει η εφαρμοζόμενη μεθοδολογία στη χώρα μας σήμερα.

Θεωρούμε ότι αυτό το οικονομικό αποτέλεσμα αποτελεί ένα σημαντικό παράγοντα που πρέπει να λαμβάνεται υπόψη από δω και πέρα στο σχεδιασμό των υπό πίεση αρδευτικών δικτύων. ε) Σημειώνεται και πάλι ιδιαίτερα το γεγονός ότι με την εφαρμογή των ιδεατών παροχών όχι μόνο δεν απαιτείται να βρεθεί ένας νέος αλγόριθμος βελτιστοποίησης αλλά τουναντίον ή εύρεση και η εφαρμογή των παροχών αυτών είναι απλούστατη και ταχύτατη για τη χρησιμοποίηση σε συνθήκες κάποιας γνωστής μεθόδου βελτιστοποίησης. Επίσης τονίζεται το γεγονός ότι με τις ιδεατές παροχές επιτυγχάνεται άμεση σχεδόν ποιότητα λειτουργίας σε όλο το δίκτυο και μετατρέπεται ένα πιθανοθεωρητικό πρόβλημα σε αλτιμοκρατικό.

9. Βασικά Σύμβολα

Q, q, q ₀	= παροχή, μέση παροχή αρδεύσεως άγρα- τεμαχίου, όνιμαστική παροχή στόμιου ύδραληψίας
B	= βαθμός ελευθερίας = $\frac{q_0}{q}$
φ	= ποιότητα λειτουργίας = $\frac{1}{B}$
N	πλήθος άνοιχτών στομιών ύδραληψίας
R	= συνολικό πλήθος στομιών ύδραληψίας που έξυπηρετείται από μια εξεταζόμενη θέση- Ύδραυλική ακτίνα
P	= πιθανότητα λειτουργίας στομιού ύδραλη- ψίας
μ	= μέση τιμή παροχής
σ	= τυπική απόκλιση της παροχής
e	= τυποποιημένη τυχαία μεταβλητή κανο- νικής κατανομής
h	= απώλειες ενέργειας σε κλειστούς σωλη- νωτούς άγωγούς
f	= συντελεστής τριβών
u	= μέση ταχύτητα μέσα στους σωληνωτούς άγωγούς
C, C ₀ , K, γ	= συντελεστές
D	= έσωτερική διάμετρος σωληνωτού άγωγού
S	= κλίση γραμμής ενέργειας
L, l	= μήκη άγωγών
x, y	= εκθέτες ή άγνωστες μεταβλητές
N	= αριθμός Reynolds

n	= συντελεστής τραχύτητας
α, β	= αριθμητικοί εκθέτες
P(X ≤ x)	= πιθανότητα όπως $X \leq x$
P(X = x)	= p(x) = πιθανότητα όπως $X = x$
C _v	= συντελεστής μεταβληής παροχών
u, u(φ)	= τυποποιημένη τιμή της απόκλισης φορτίου = $\frac{h-m}{s}$ = τιμή τυποποιημένης κατανομής που αντι- στοιχεί στην τιμή φ
m	= μέση τιμή απόκλισης φορτίου
H	= ύψόμετρο
F(x), g(y), I(x)	= συναρτήσεις των x _i ή x _j
Δ, δ	= διαπάνες άγωγών
A	= μήτρα ή σταθεροί συντελεστές ή συνάρ- τηση των K _i , μ _i , σ _i
B	= σταθερός συντελεστής ή συνάρτηση

10. Βιβλιογραφία

1. Bonnal C. «Εγχειρίδιον συλλογικής αρδεύσεως διά κα-
ταιονισμού». Πολυγραφημένη έκδοση Ύπουργείου Δημ.
Έργων, 1966.
2. Clement R. «Le calcul des débits dans les canali-
sations d'irrigation» Association amicale d'inge-
nieurs du Genie Rural - Journées d'études sur d'ir-
rigation, Ίούλιος 1955.
3. Clement R. «Calcul de débits dans les reseaux d'
irrigation fonctionnant a la demande» La Houille
Blanche No 5, 1966.
4. Δασκαλόπουλος Δ. «Εφαρμοσμένη γραμμική Άλγεβρα»
ΊΑθηναι, 1973.
5. Εόστρατιάδης Γρ. «Επί του τρόπου ύπολογισμού των
αρδευτικών δικτύων διά σωλήνων υπό πίεση κατά την
μέθοδον Clement» Τεχνικά Χρονικά No 6, 1960.
6. Κάκουλός Θ. «Θεωρία πιθανοτήτων και στοχαστικών
ανεπίξεων» ΊΑθηναι, 1970.
7. Labye Y. «Méthodes Permettant de determiner les
caracteristiques optimales d'un reseau de distribu-
tion d'eau - Méthode discontinue» Bulletin Techni-
que du Genie Rural, No 50.
8. Λειβαδίτης Ε. «Η άσυνεχής μέθοδος Labye διά τον
ύπολογισμόν τών οικονομικού συνδυασμού διαμέτρων σω-
ληνωτών δικτύων αρδεύσεως» Τεχνικά Χρονικά No 5,
1972.
9. Manas: «National Plumbing Code Handbook» Mc
Graw - Hill, Company, 1960.
10. Νουτσόπουλος Γ. «Μαθηματικά Θεωρητικής και Έφρη-
μοσμένης Ύδραυλικής» τεύχος Β'. Ροή εις κλειστούς
άγωγούς υπό πίεση, ΊΑθηναι 1973.
11. Παντελίδης Γ. «Μαθηματική Ανάλυσις» Τόμοι Ι και ΙΙ,
ΊΑθηναι 1972, 1974.
12. Sokolnikoff and Redheffer «Mathematics of Physics
and Modern Engineering» Mc Graw Hill Book Com-
pany inc., 1966.
13. Wonnacot T. - Wonnacot R. «Introductory Stati-
stics» J. Willey 1972.
14. Ύπουργείο Δημοσίων Έργων «Οδηγίες για τον έλεγχο
μελετών σωληνωτών αρδευτικών δικτύων» Έγκυκλιος
Δ. 22200/30 - 7 - 1977.
15. Χριστούλας Δ. «Η πιθανοθεωρία στον ύδραυλικό σχε-
διασμό των υπό πίεση αρδευτικών δικτύων, Τεχνικά
Χρονικά τεύχ. 1/1977.

Hydraulic head losses and discharges determination for radial irrigation networks under pressure with fluctuating demand

By L. Lazaridis*

Summary

The function of radial irrigation networks under pressure with fluctuating demand follows a probabilistic trend. Thus the corresponding head losses follow a probabilistic trend in such a way that knowing their distribution along the flow direction of the water, which is called 'conveyance line', to enable ourselves to define for every probability level the magnitude of the corresponding head loss.

The proper mathematical treatment of the problem and the acceptance of some logic approximations and assumptions, which correspond to the general layout of such networks, helped to end up in very useful conclusions for the design purposes.

The distribution of the head losses along the 'conveyance line' is defined as follows,

$$h = m + u.s,$$

where m is the average value of the head loss s is the standard deviation of the head loss and $u = \frac{h-m}{s}$ is a standardized value of the head loss.

According to the research having been done, the parameters m , s characterising the distribution of the head loss, h , are expressed by simple equations, which are easily formed and estimated. Additionally, the s value coincides with the e which is the standardized value of the normal distribution.

The head losses along the 'conveyance line' are,

$$h = k_i Q_i^2$$

where k_i is a coefficient depended on the diameter, the length and the roughness in the section i of the 'conveyance line'

Q_i is a characteristic magnitude, expressed in dimensions of discharge, being equal to $(\mu_i^2 + \sigma_i^2 + 2.z.\mu_i\sigma_i)^{1/2}$ where μ_i and σ_i are the average value and the standard deviation of the discharge in the section i of the network, respectively.

This mentioned characteristic Q_i is called 'ideal discharge' and the values of this 'ideal discharge' contribute in the correct design of the network.

Considering the values of the 'ideal discharge', the probabilistic problem is transformed to a deterministic problem, because applying the values Q_i , reflecting to a desirable probability level, on the different sections of the 'conveyance line', that head loss is produced, which correspond to a desirable probability level or function quality level, as otherwise named.

In this work the problem of least conduit has been investigated and suggestions for the determination of the 'ideal discharge', when the serviced outlets for water supply are less than 12, have been tabulated.

The above conclusions have been come true by simulation technique applied in concrete examples.

* Civil engineer of National Technical University of Athens 1953. He was engaged in the reconstruction of the Magnesia region which suffered severe earthquake activity, in the military works in land

Reclamation service of ministry of Agriculture and in technical department of municipalities and communities of Karditsa. Since 1961 as an engineering consultant in the hydraulics works field.